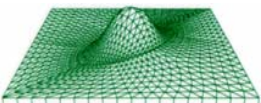


Comportement et applications des Alliages à mémoire de forme

Etienne Patoor

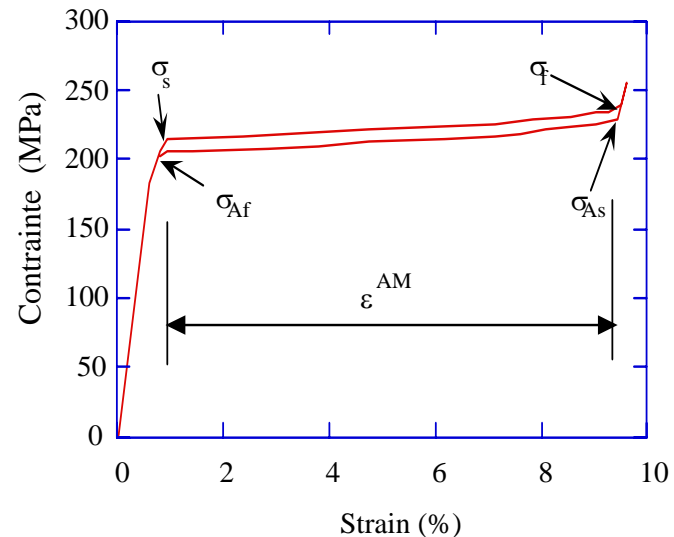
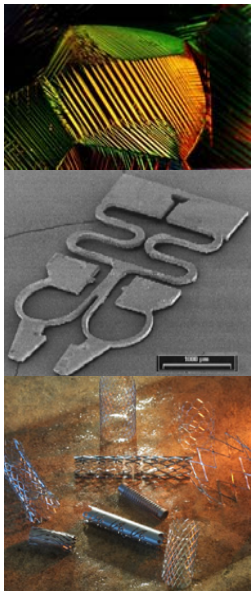
Laboratoire de Physique et de Mécanique des Matériaux
UMR CNRS 7554



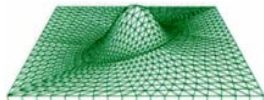
L.P.M.M.
UMR 7554

Séminaire Matériaux IN2P3 – 17/10/2006

Metz



1. Introduction
2. Différents comportements
3. Exemples d'applications



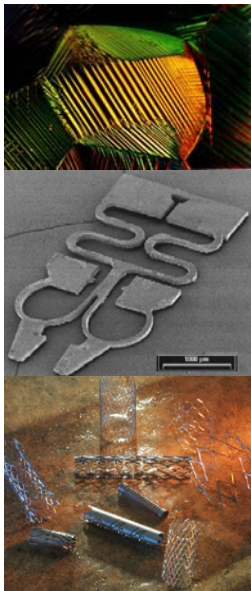
L.P.M.M.
UMR 7554

Séminaire Matériaux IN2P3 – 17/10/2006

Classification des transformations de phase

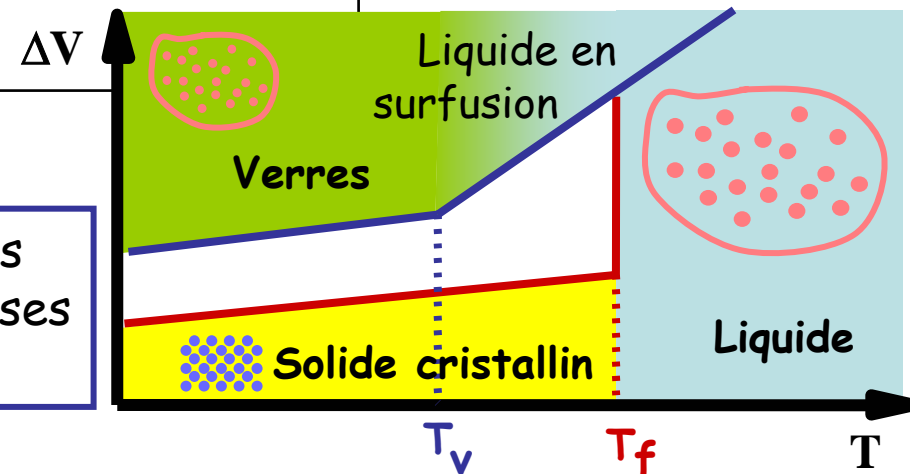


Transformations du premier et du second ordre

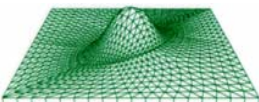


Premier ordre	Second ordre
Ebullition Condensation Solidification	Transition vitreuse

- Propriétés discontinues
- Coexistence des 2 phases
- Interface



Transformations avec et sans diffusion

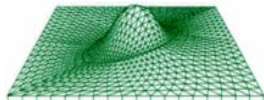
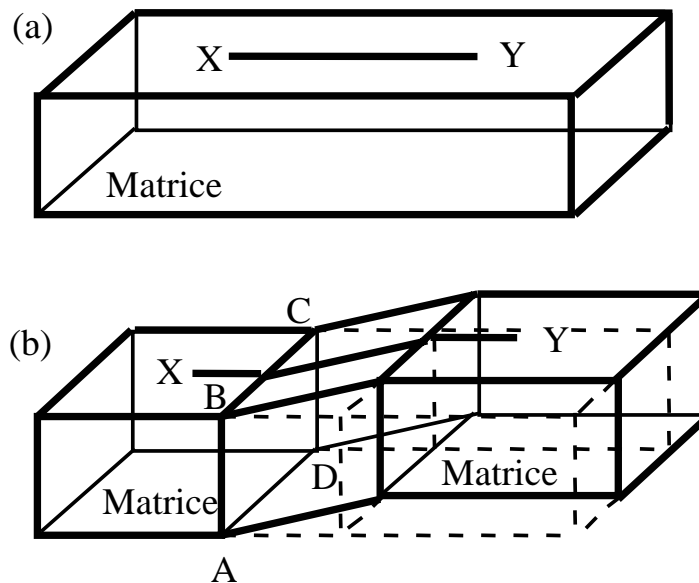
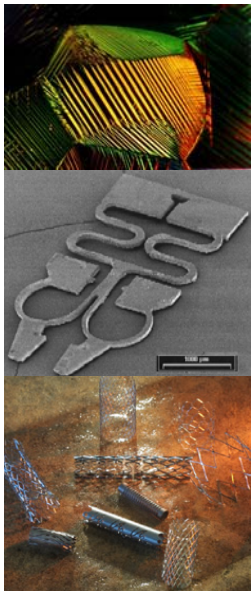


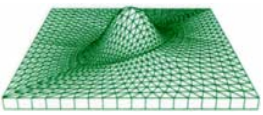
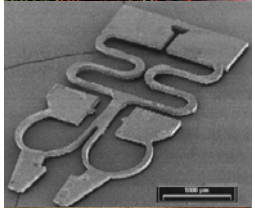
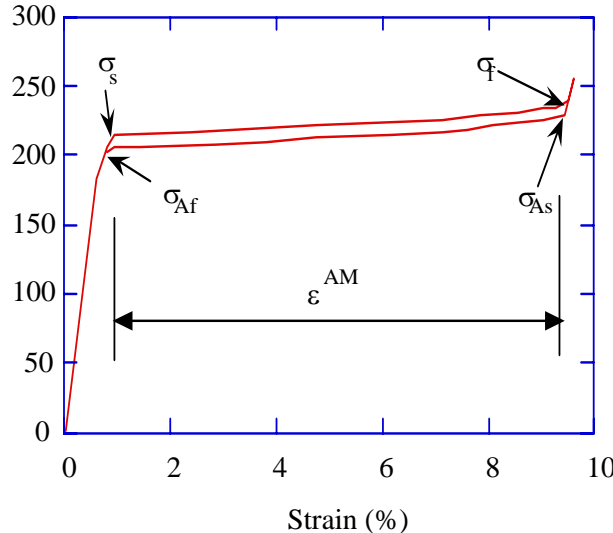
Définition de la transformation martensitique

□ Transformation du premier ordre

□ Sans diffusion

□ A caractère fortement déviatorique





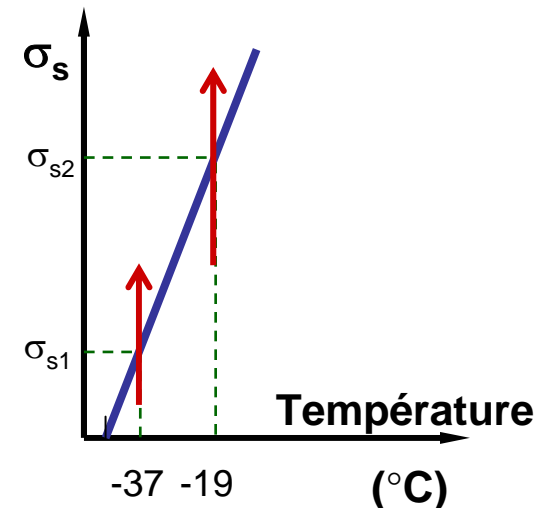
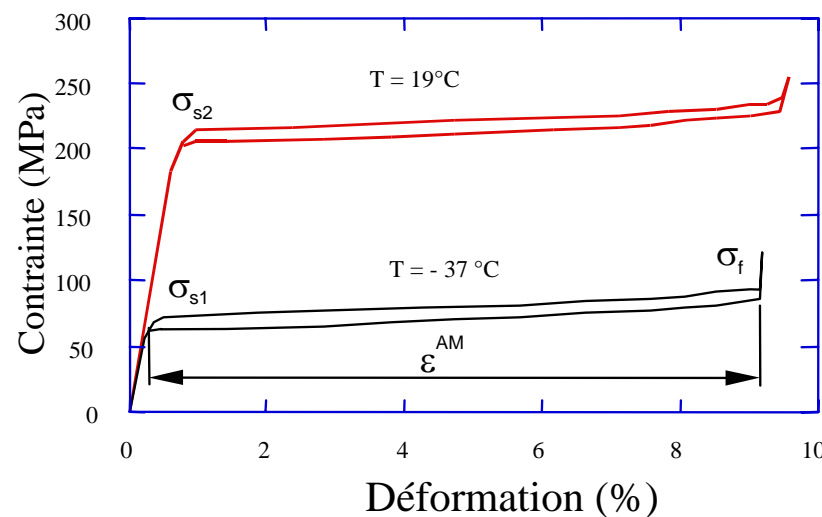
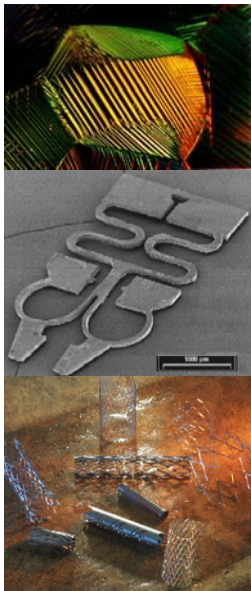
L.P.M.M.
UMR 7554

II. Comportement des AMF

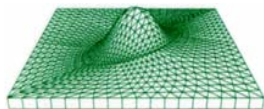
1. Superélasticité
2. Effet mémoire
3. Mémoire double sens
4. Autres propriétés

II.1. Superélasticité

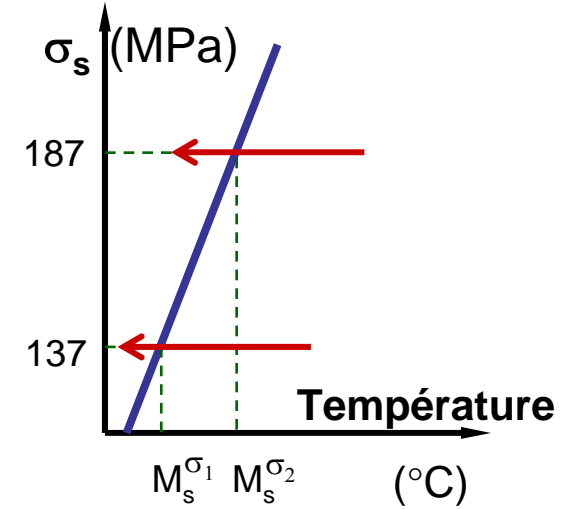
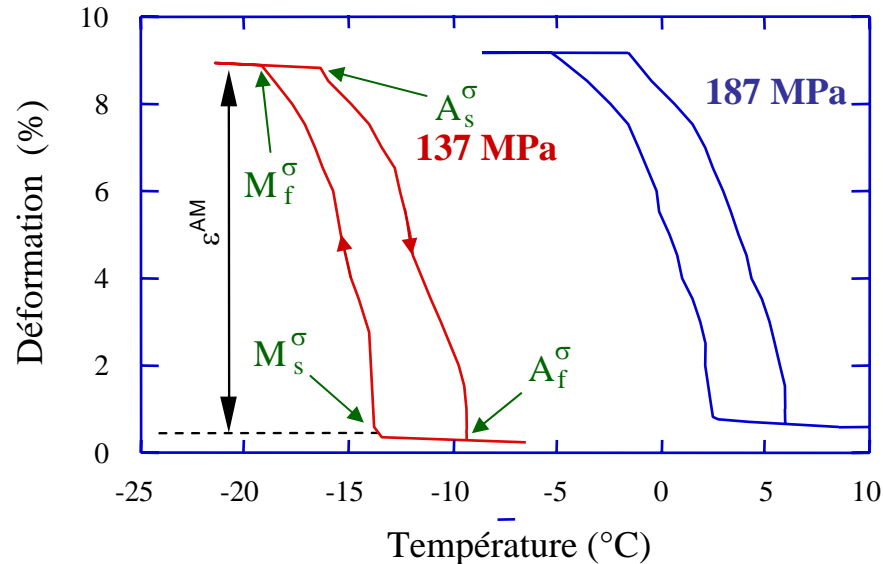
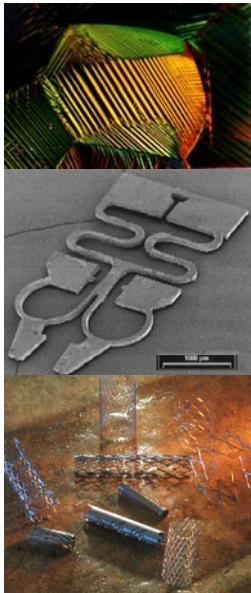
Observée pour la première fois sur un alliage Cu-Zn en 1952



Formation de la variante
la mieux orientée
par rapport à la contrainte
appliquée

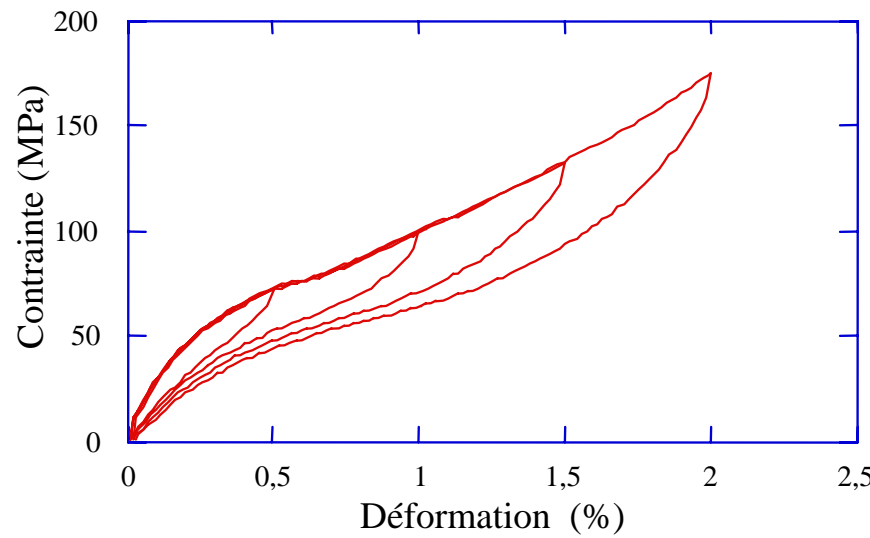
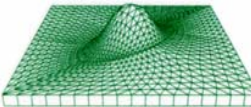
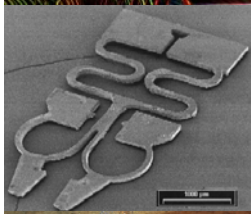


Comportement Superthermique

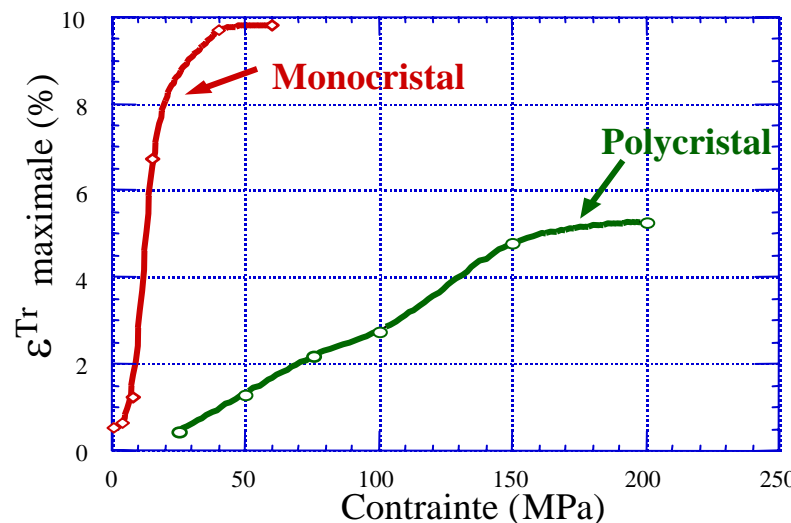


Formation de la variante
 la mieux orientée
 par rapport à la contrainte
 appliquée

Influence de la microstructure

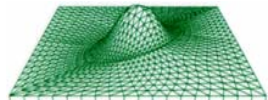
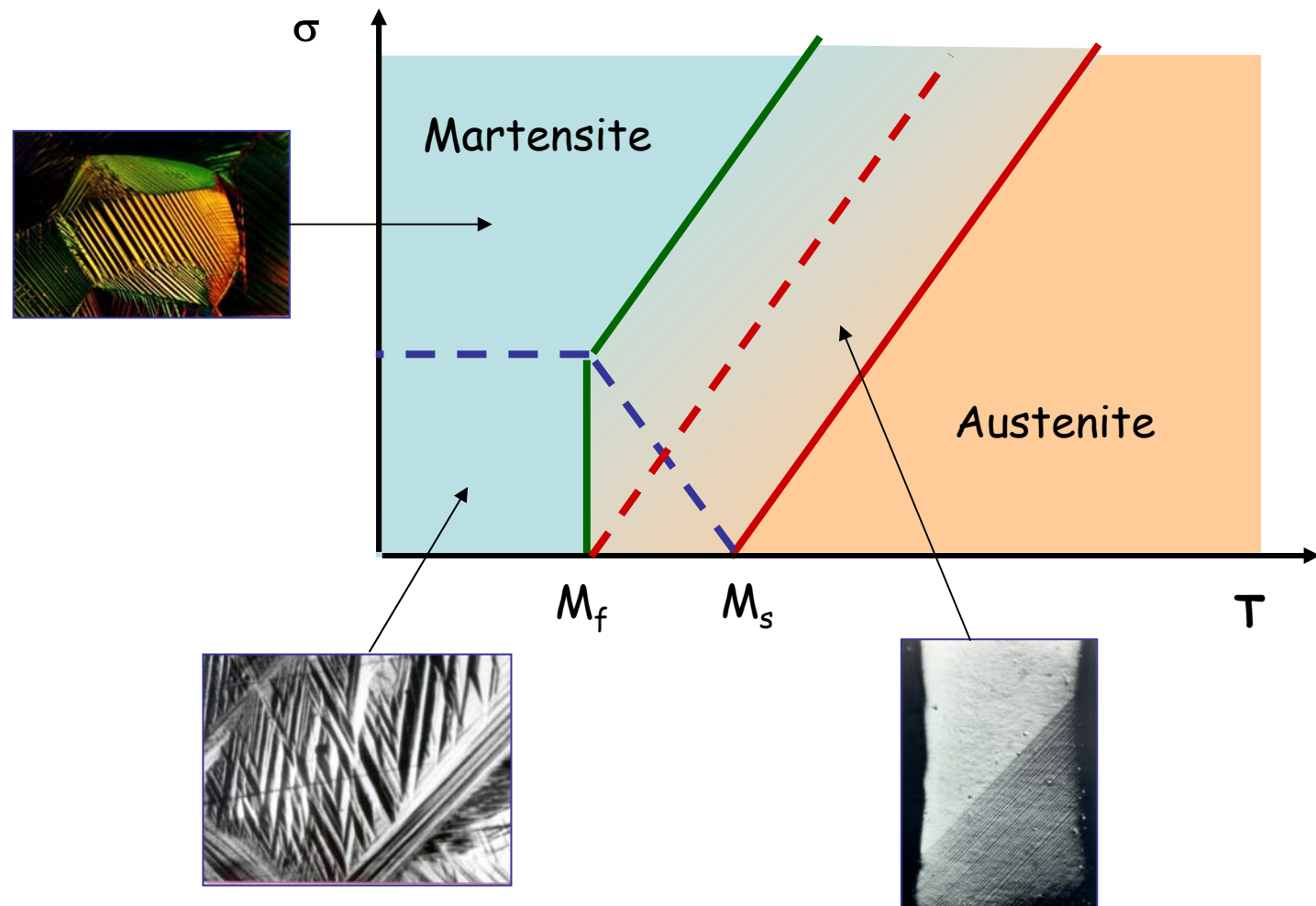
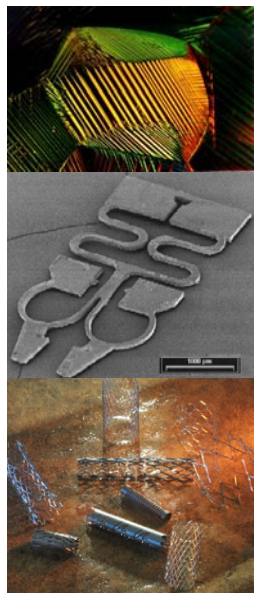


Comportement superélastique
à température ambiante
d'un alliage polycristallin
 $Cu-Zn-Al-Ni$ ($M_s = -18^\circ C$)



Evolution de la déformation
maximale de transformation
en fonction de la contrainte
appliquée au refroidissement
pour un monocristal et un
polycristal de $CuAlBe$
de même composition

Influence de la microstructure

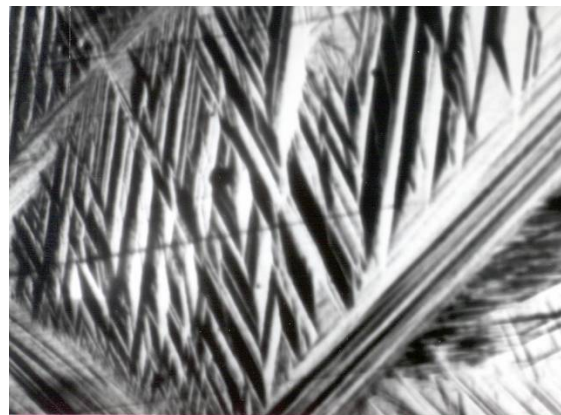
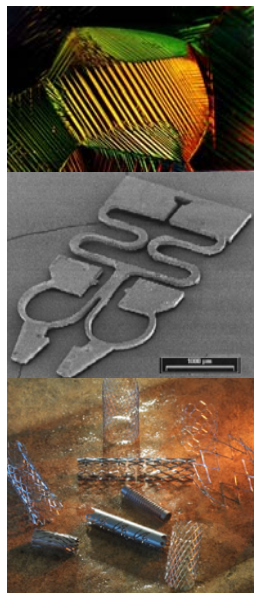


L.P.M.M.
UMR 7554

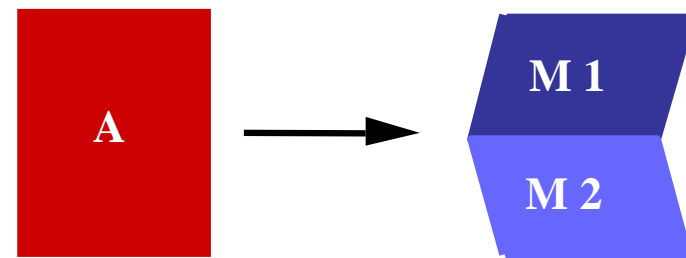
Séminaire Matériaux IN2P3 – 17/10/2006

II.2. Effet mémoire

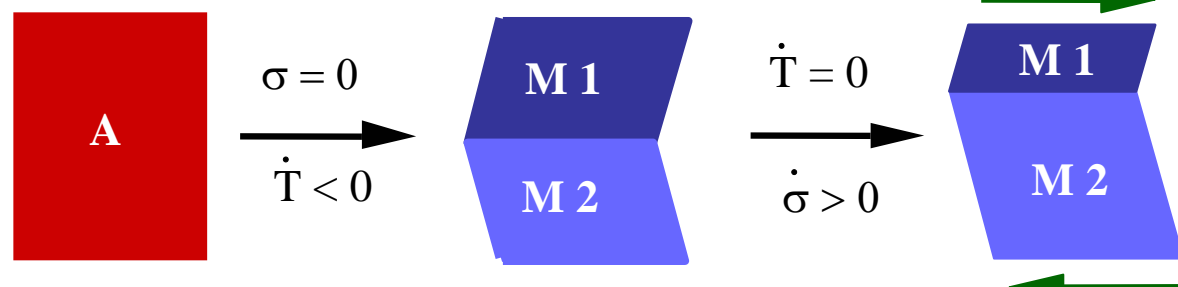
Refroidissement sans contrainte



→ Formation d'une microstructure autoaccommodeante

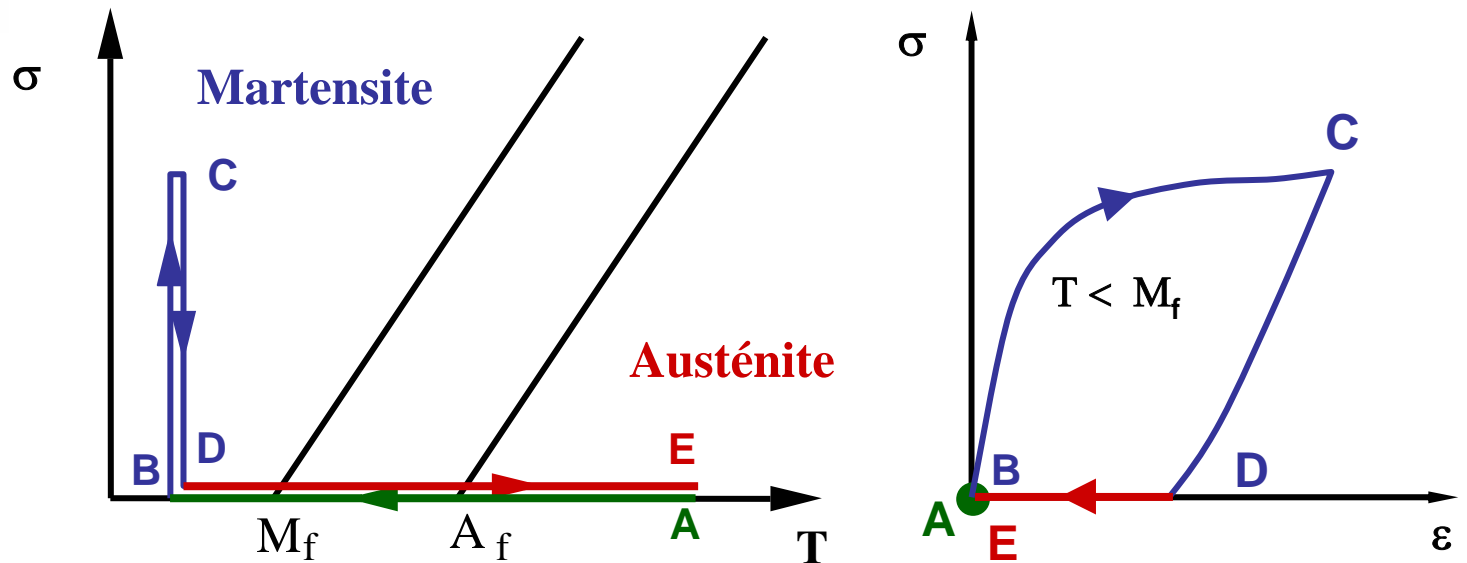
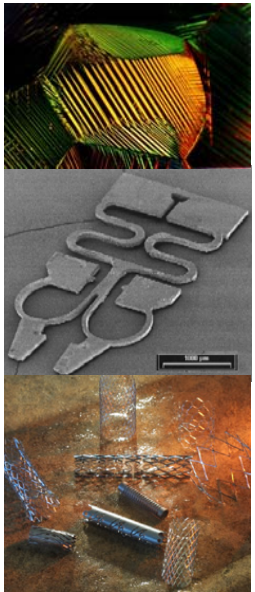


Mobilité des interfaces martensite/martensite

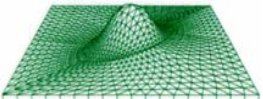


Méty

Mémoire de forme simple sens

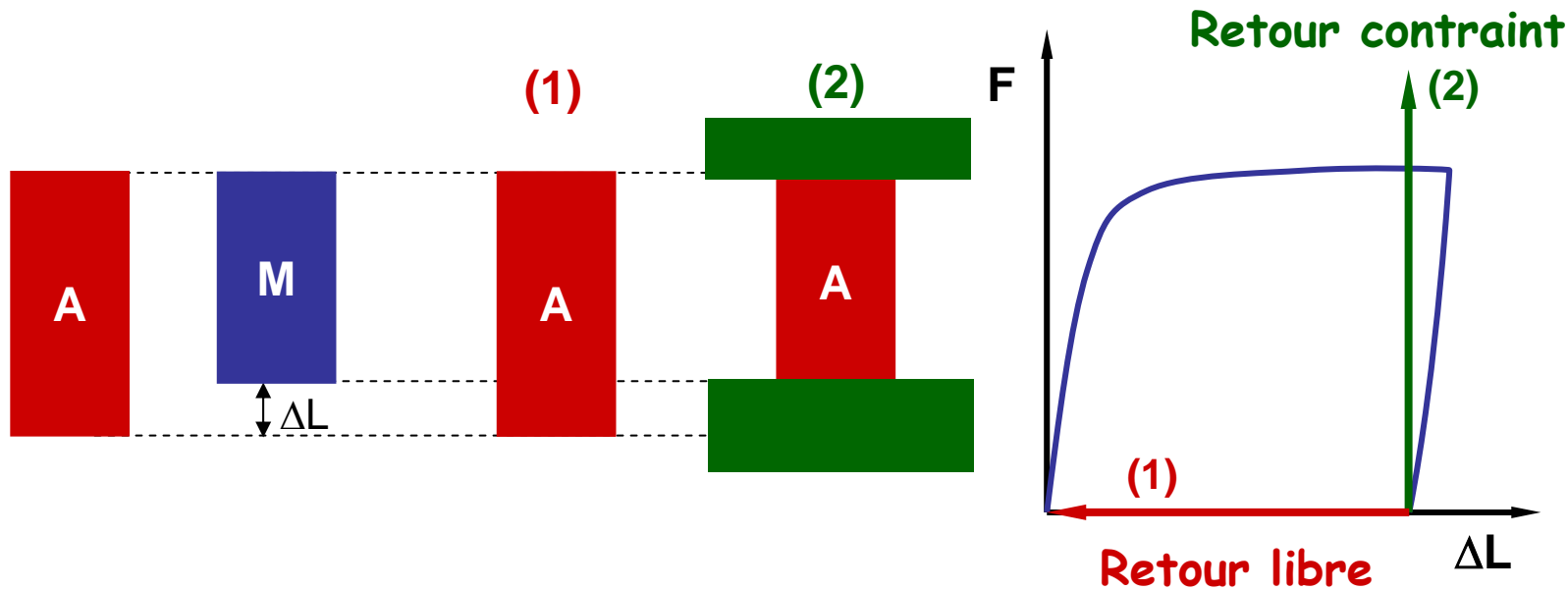
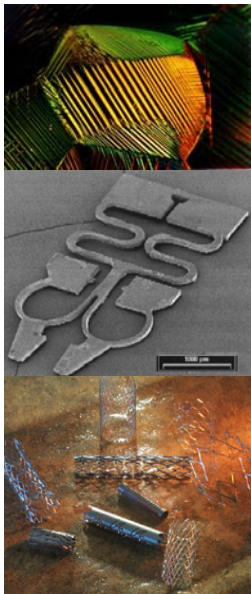


- Refroidissement A-B sans contrainte
Martensite autoaccommodeée
- Déformation B-C en phase basse température
Réorientation des variantes de martensite
- Chauffage D-E sous contrainte nulle
Retour en austénite et reprise de forme



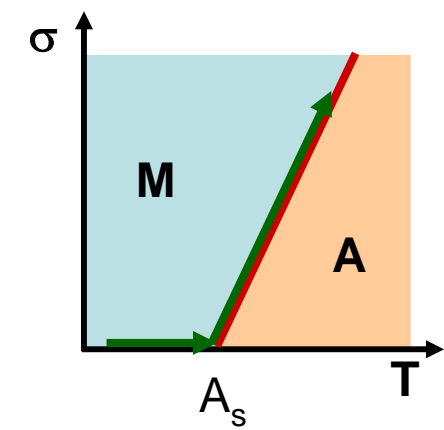
La recouvrance de forme se réalise uniquement au chauffage

Application : Retour constraint

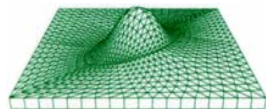
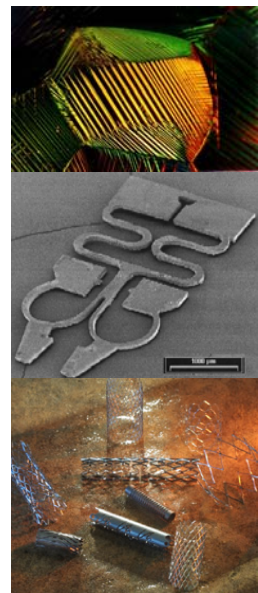
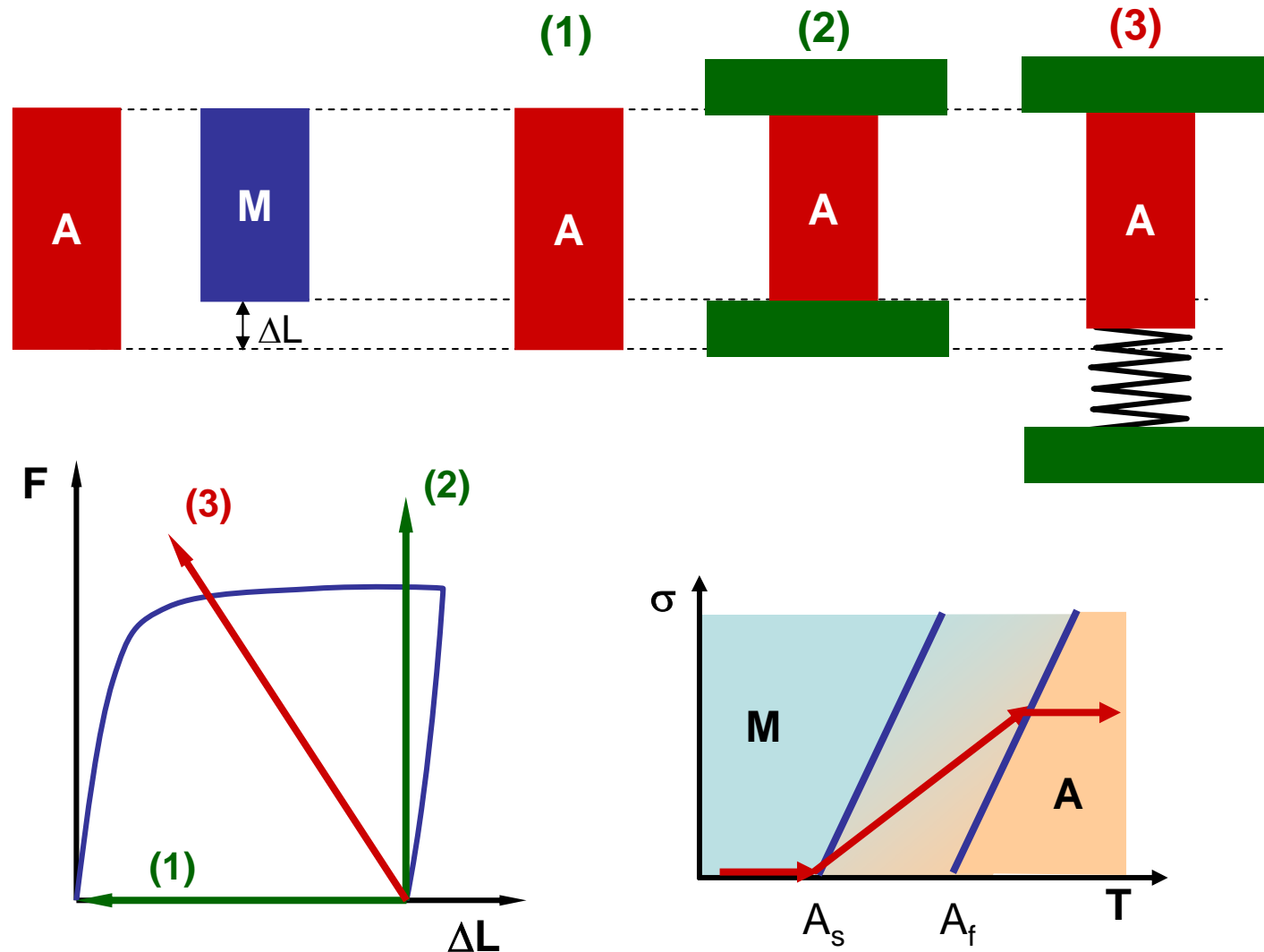


	M_s ($^{\circ}\text{C}$)	$T_{\text{déf}}$ ($^{\circ}\text{C}$)	ε (%)	σ (MPa)
NiTi	- 200	- 200	8,0	500 – 900
CuAlNi	+ 70	+ 25	2,0	300 – 400
CuZnAlMn	- 40	- 90	3,5	550 - 650

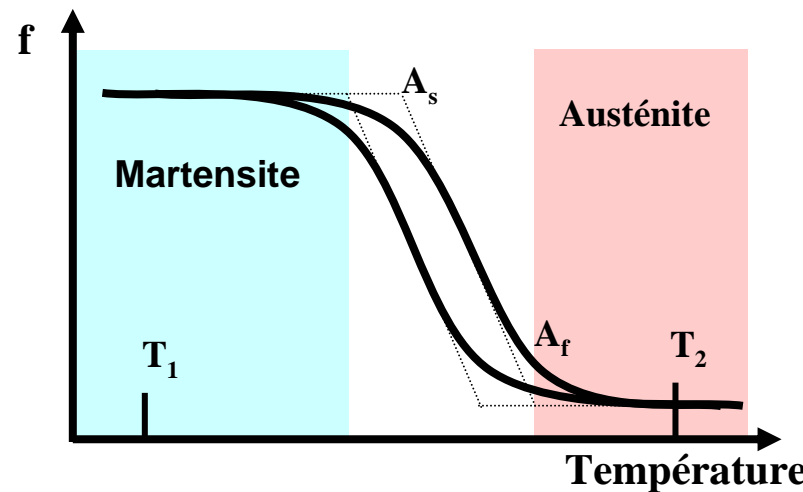
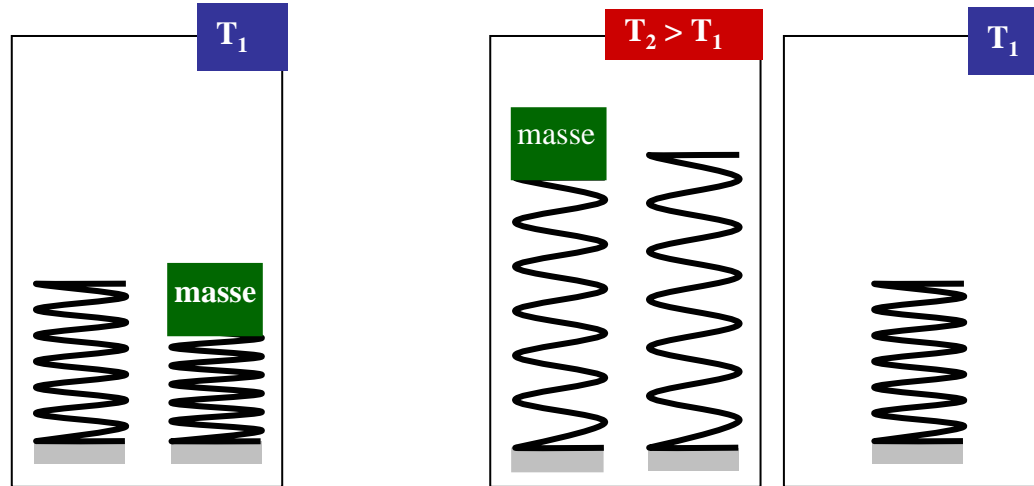
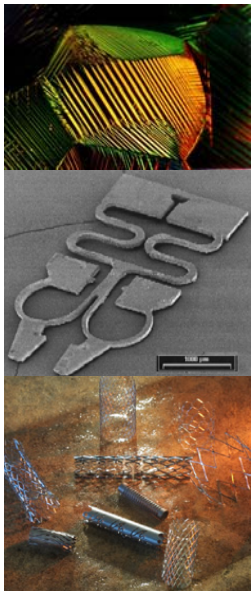
Engineering aspects of SMA (1990) p. 121



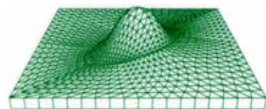
Application : Production de travail



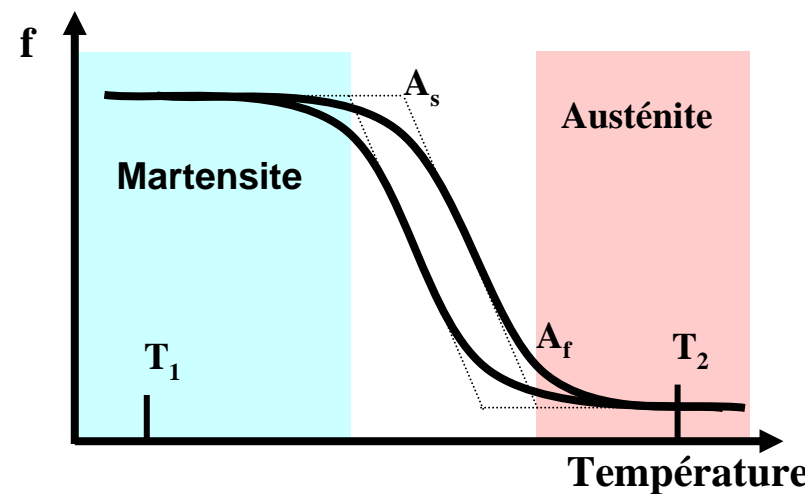
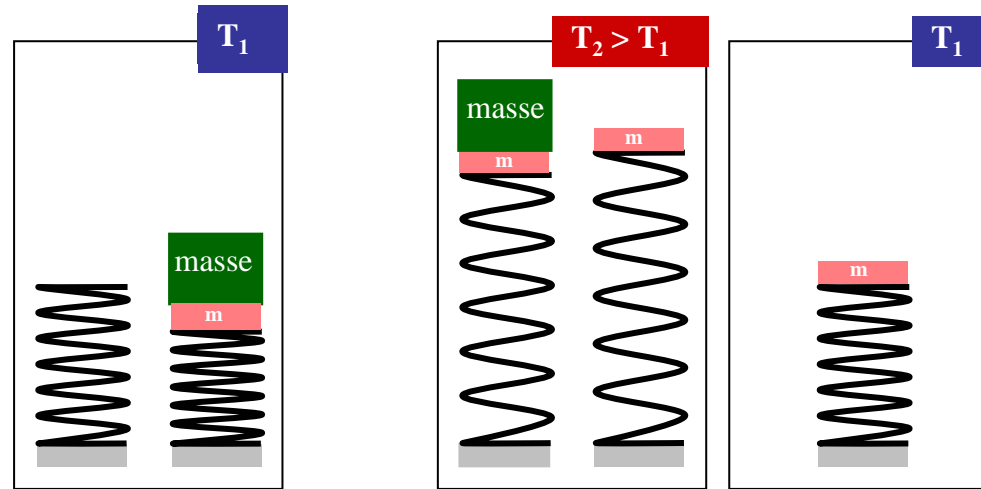
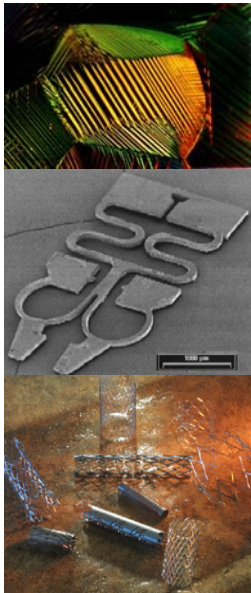
II.3. Mémoire double sens



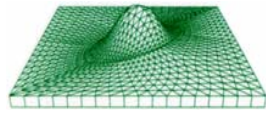
Effet obtenu par
éducation



Mémoire double sens assistée



**Education remplacée
par une force de rappel**



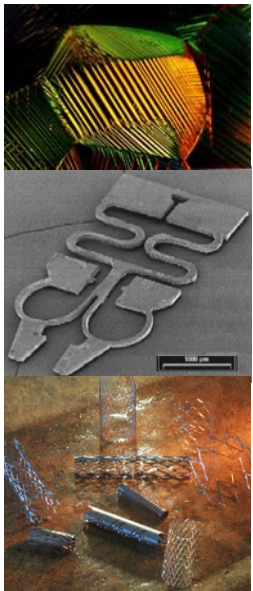
L.P.M.M.
UMR 7554

Séminaire Matériaux IN2P3 – 17/10/2006

II.4. Autres effets

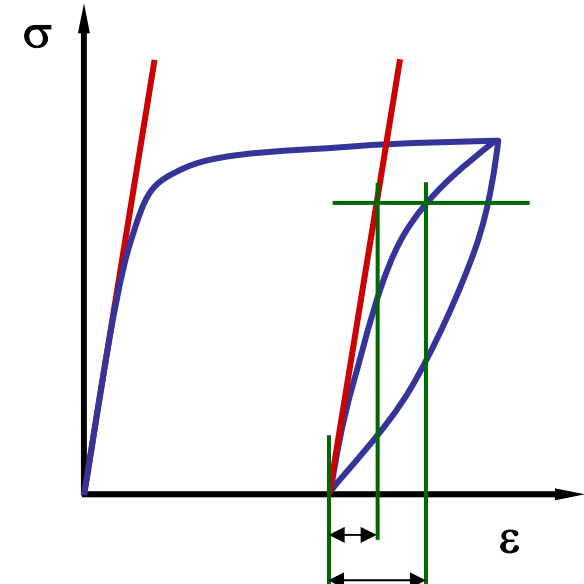
Effet caoutchoutique

Effet observé pour la première fois en 1932 sur un alliage Au-Cd

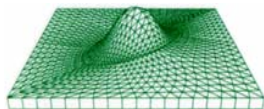
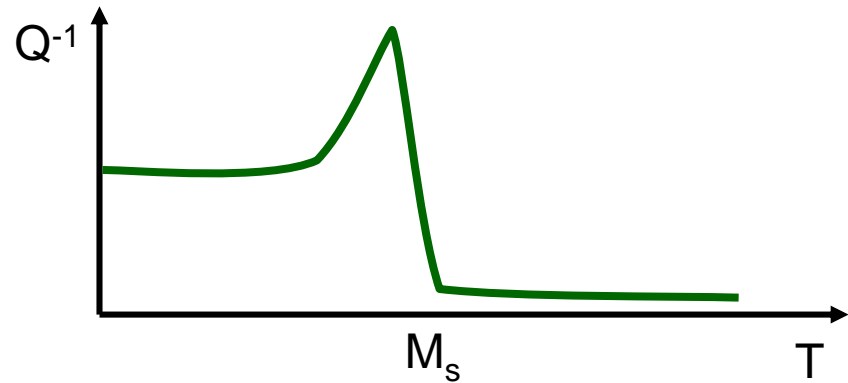


$$T < M_f$$

Déplacement réversible des interfaces martensite/martensite

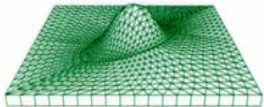
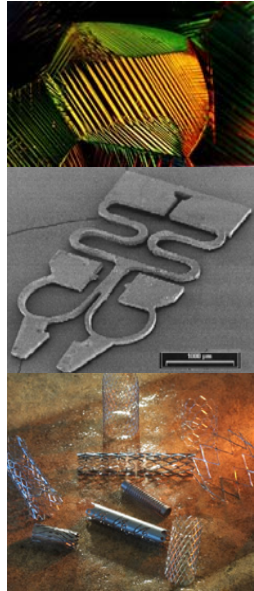


Amortissement



III. Applications des AMF

1. Mémoire simple sens
2. Retour constraint
3. Capteurs-actionneurs
4. Superélasticité
5. Applications biomédicales
6. Microsystèmes
7. Mémoire de forme, formes en mémoire





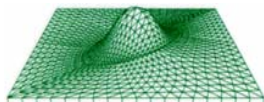
III.1. One way memory

Peu d'application
industrielle

Gadget, Jouets

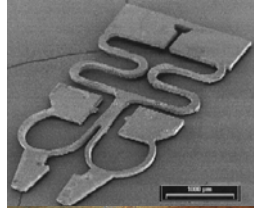


TiNi Alloy Company
Two dozen or less: \$3.50/each

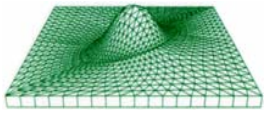


L.P.M.M.
UMR 7554

Séminaire Matériaux IN2P3 – 17/10/2006



Raychem



L.P.M.M.
UMR 7554

Première application industrielle (1969)

Manchon de connection
U.S. Navy F-14 Tomcat

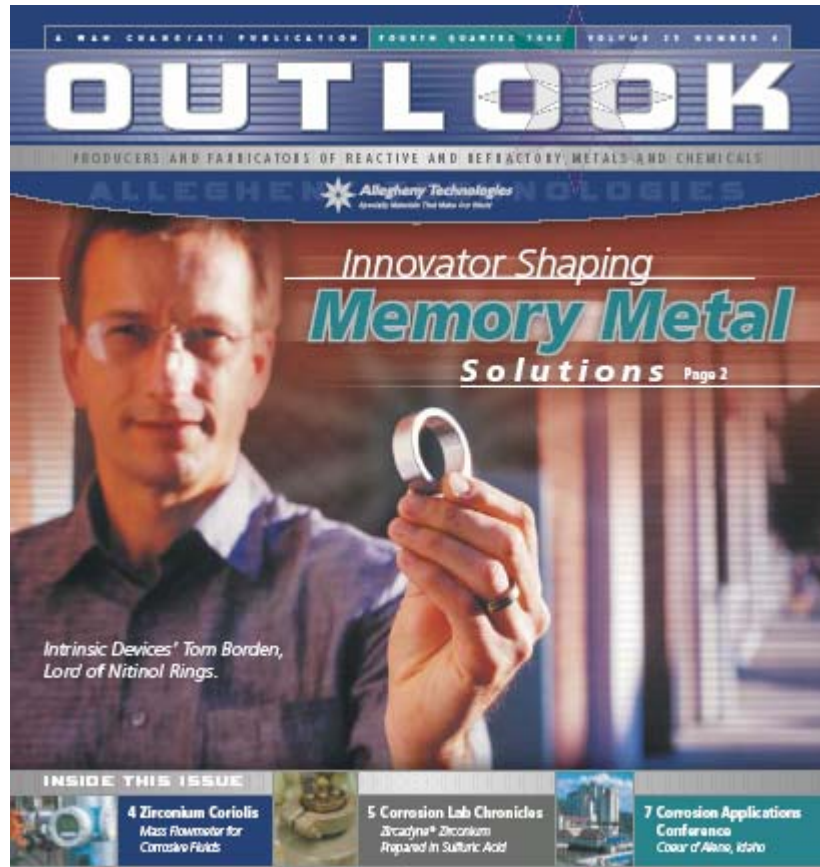
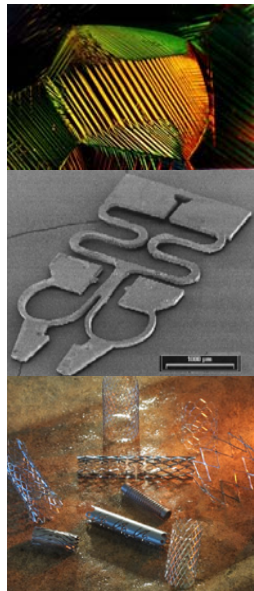


Frangibolt®

Génère jusqu'à 25 kN d'effort.

TiNi Aerospace, Inc

Couplage



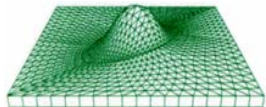
Intrinsic Devices, Inc

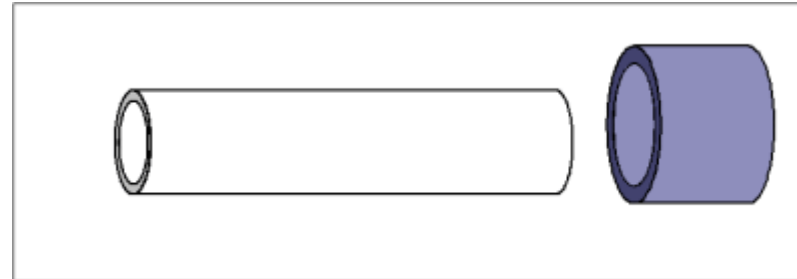
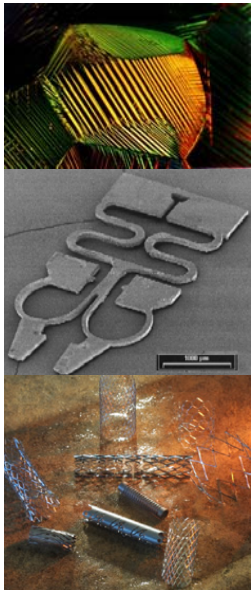
L.P.M.M.
UMR 7554

Séminaire Matériaux IN2P3 – 17/10/2006

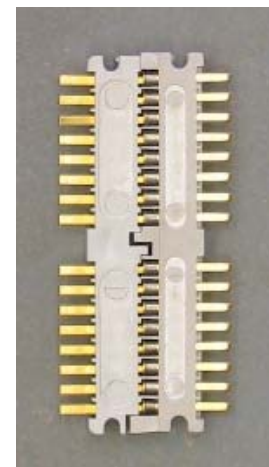


Manchon Cryofit®

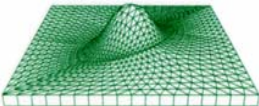




Tinel-Lock®



Cryocon® connector



L.P.M.M.
UMR 7554

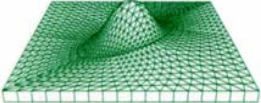
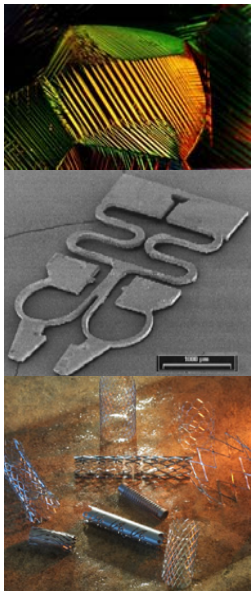
Intrinsic Devices Incorporated

Séminaire Matériaux IN2P3 – 17/10/2006



Metz

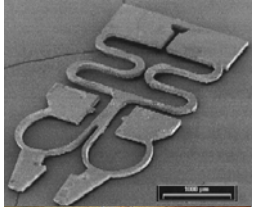
UniLok® Applications



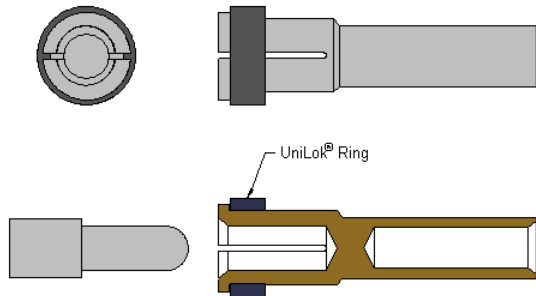
Intrinsic Devices Inc, 2003

L.P.M.M.
UMR 7554

Séminaire Matériaux IN2P3 – 17/10/2006

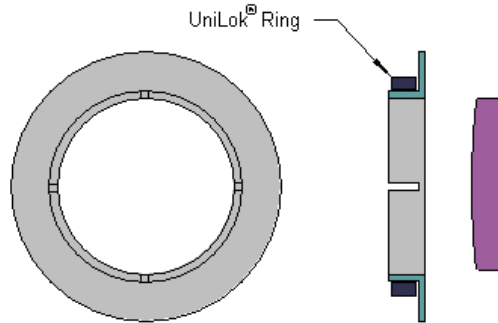


Zero insertion force connector



Use for munitions, missiles,
high amperage buss connections
and bulkhead feedthroughs

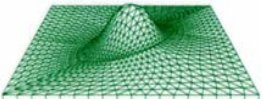
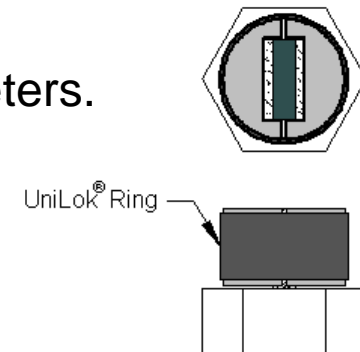
Lens and Window Mounts

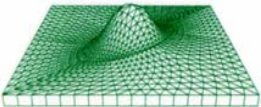
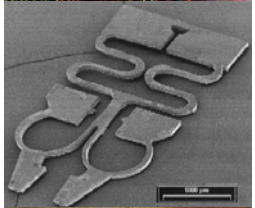


To mount delicate lenses
in holders

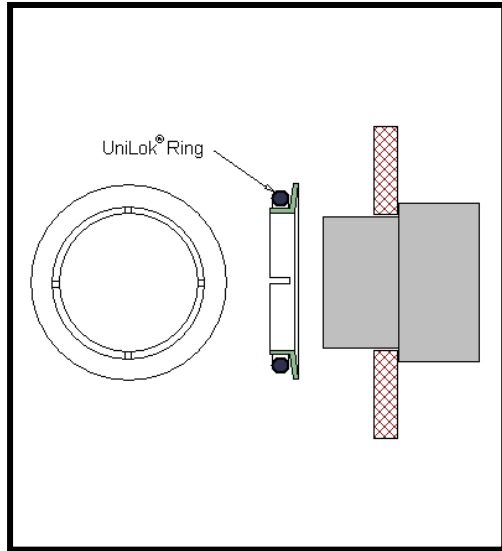
Accelerometer Assembly

Clamp mass elements and piezoelectric material
against the center post of shear type accelerometers.
Provide easy assembly, consistent performance,
and insensitivity to temperature extremes.

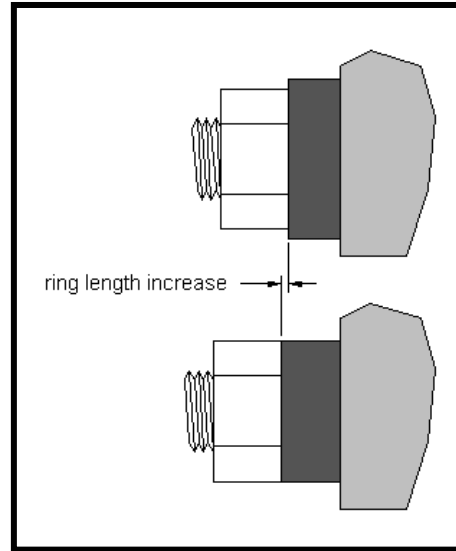




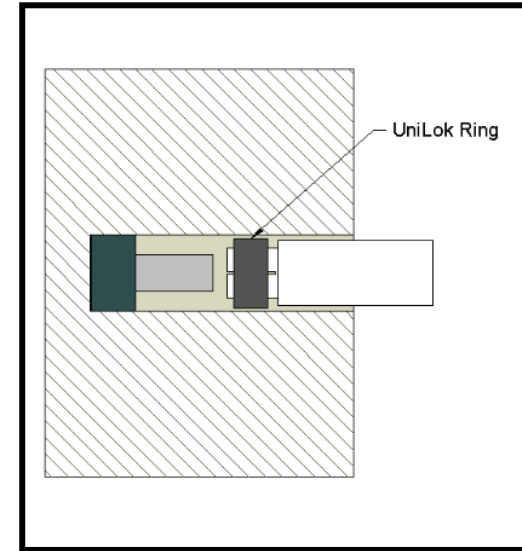
Axial Preload



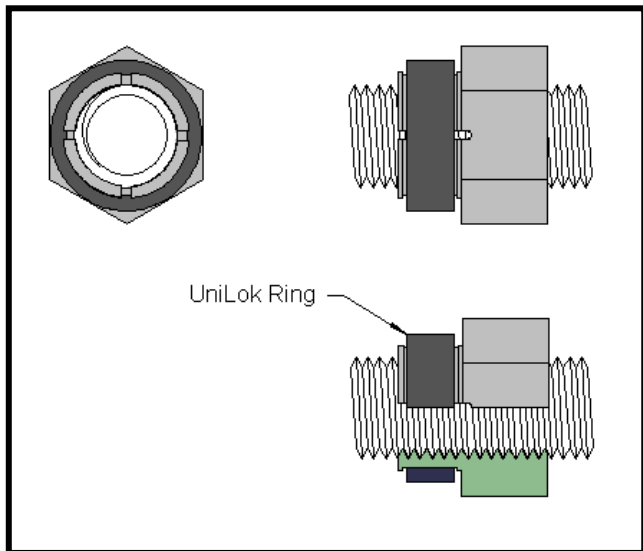
Preload of Threaded Fasteners



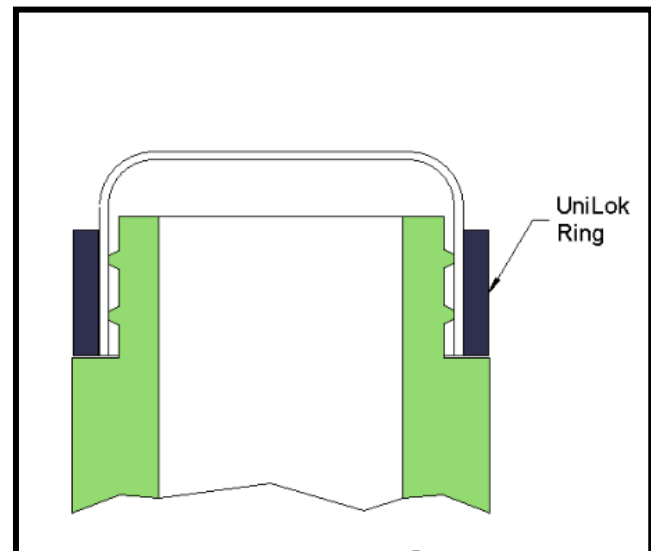
Blind Assembly

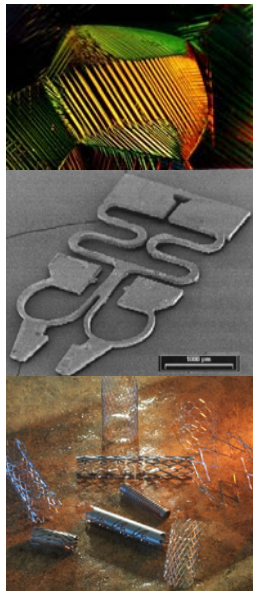


Locking Nuts

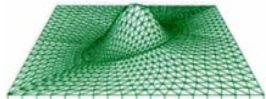
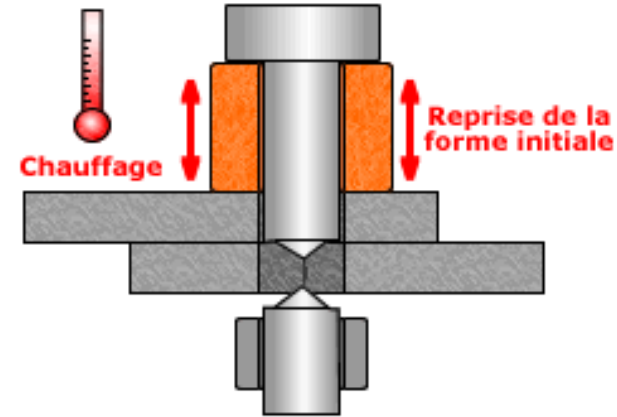
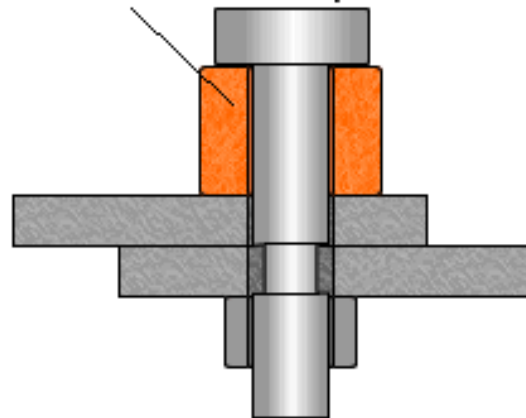


Hermetic Seal





Entretoise en AMF Comprimée



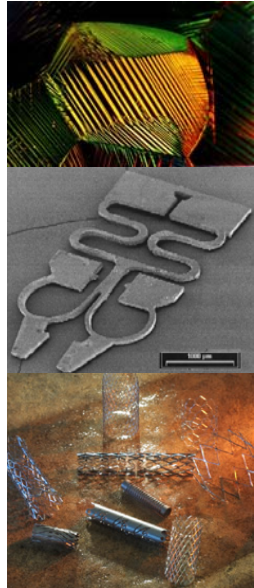
L.P.M.M.
UMR 7554

TiNi Aerospace, Inc, 2001

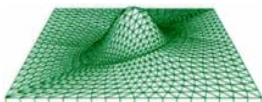
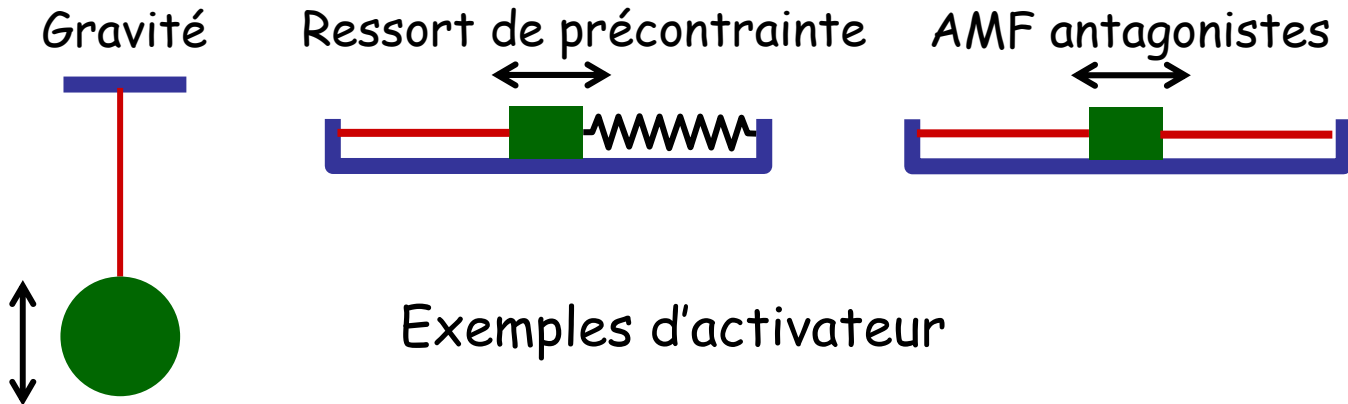
Séminaire Matériaux IN2P3 – 17/10/2006

III.3. Activateurs

3 types d'activateur en AMF



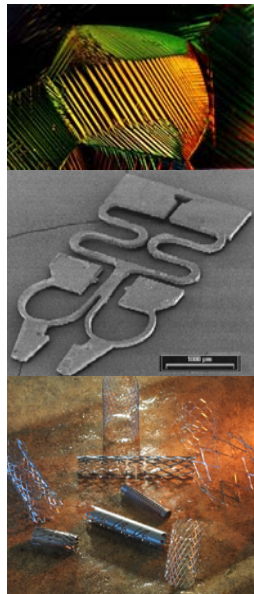
- Activateur thermique
- Activateur électrique
- Activateur différentiel



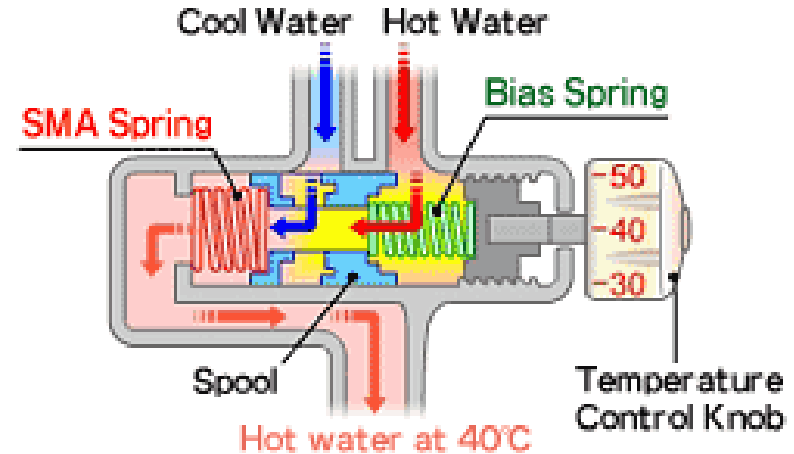
L.P.M.M.
UMR 7554

Séminaire Matériaux IN2P3 – 17/10/2006

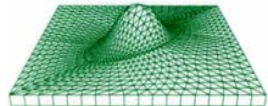
Domotique



Valve thermostatée



Pour éviter l'arrivée d'eau brûlante au début de l'écoulement les débits d'eau chaude et d'eau froide sont contrôlés par l'action d'un ressort en alliage à mémoire de forme .

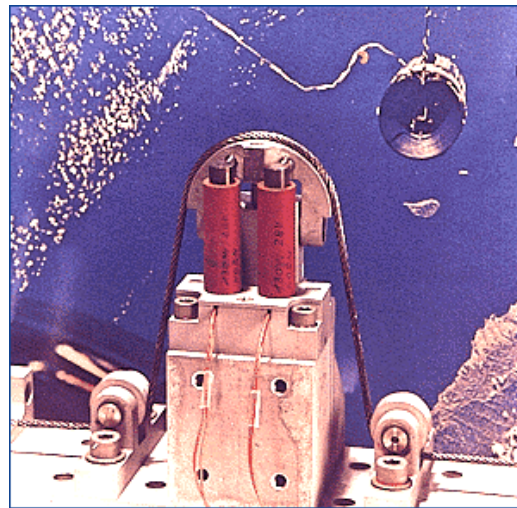
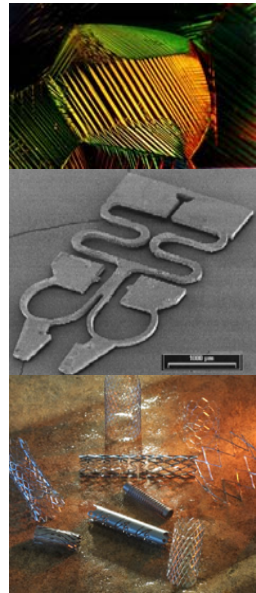


L.P.M.M.
UMR 7554

Furukawa Techno Material Co., 2000

Séminaire Matériaux IN2P3 – 17/10/2006

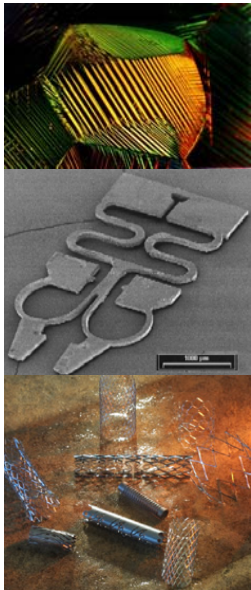
Application aérospatiales



Télescope HUBBLE, 1990

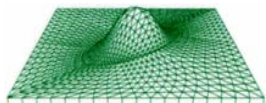
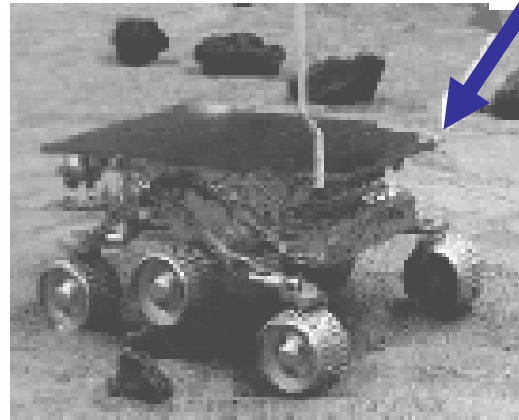
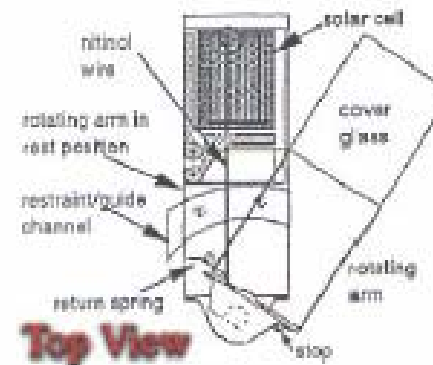
Ce dispositif permet d'assurer le verrouillage des panneaux solaires pendant la phase de lancement et de leur déverrouillage une fois le télescope en orbite.
Un chauffage à 115°C de l'élément en NiTi permet ce déverrouillage.

@mt Advanced Materials and Technologies, Belgium



Mars Pathfinder

« Material adhesion Expériment »

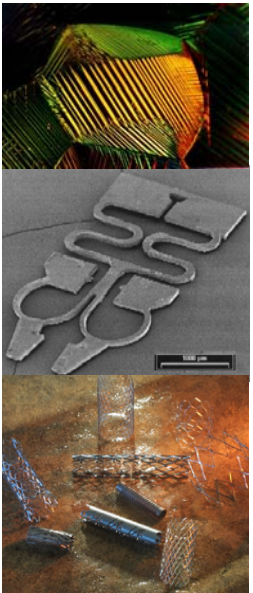


Dynalloy

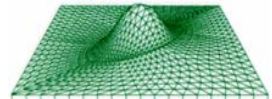
L.P.M.M.
UMR 7554

Séminaire Matériaux IN2P3 – 17/10/2006

III.4. Superélasticité



Monture superélastique
AMF CuAlBe Monocristallin

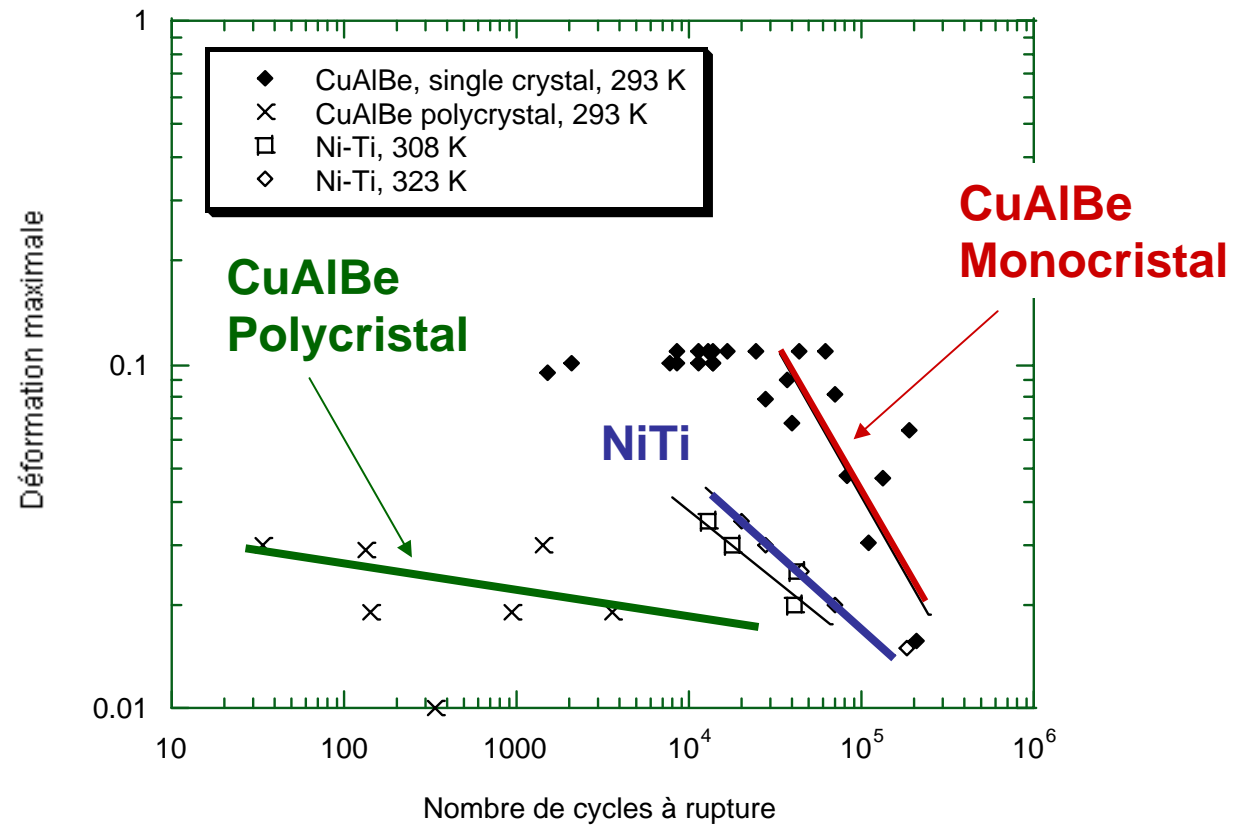
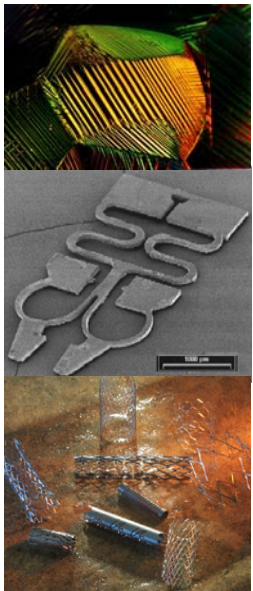


L.P.M.M.
UMR 7554

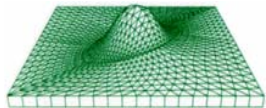
Aspex Technologies, Brevet LPMM

Séminaire Matériaux IN2P3 – 17/10/2006

AMF Monocrystallins



Courbes de Manson-Coffin pour des AMF poly et monocristallins

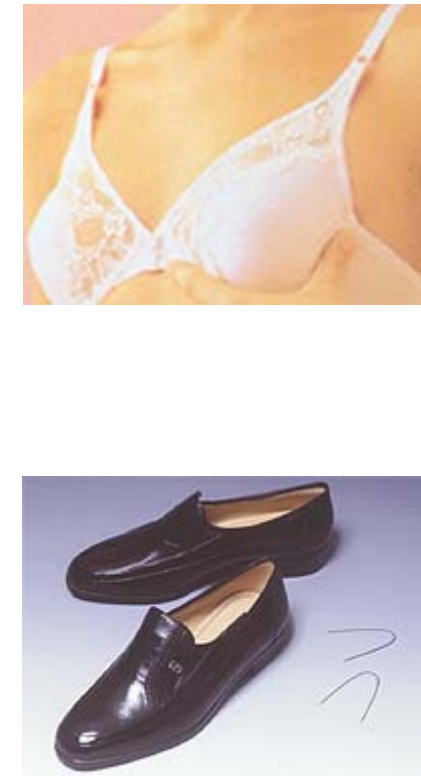
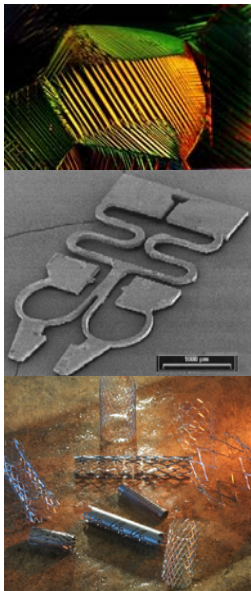


L.P.M.M.
UMR 7554

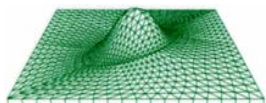
Nathalie Siredey, LPMM

Séminaire Matériaux IN2P3 – 17/10/2006

Applications dans l'habillement



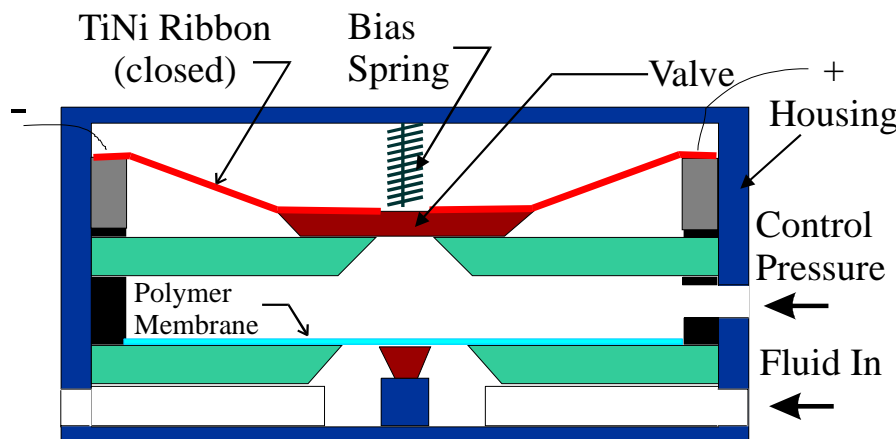
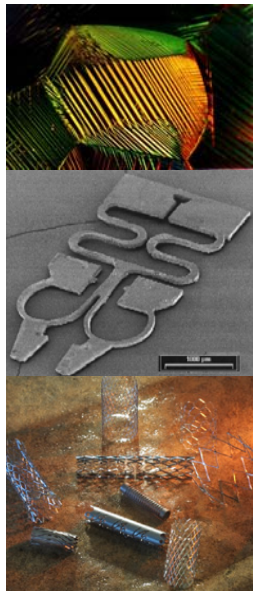
Furukawa Techno Material Co.
2000



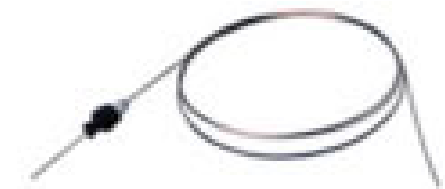
L.P.M.M.
UMR 7554

Séminaire Matériaux IN2P3 – 17/10/2006

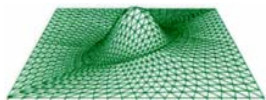
III.5. Applications biomédicales



SMA actuated microvalve
manufactured by *TiNi Alloy Company*



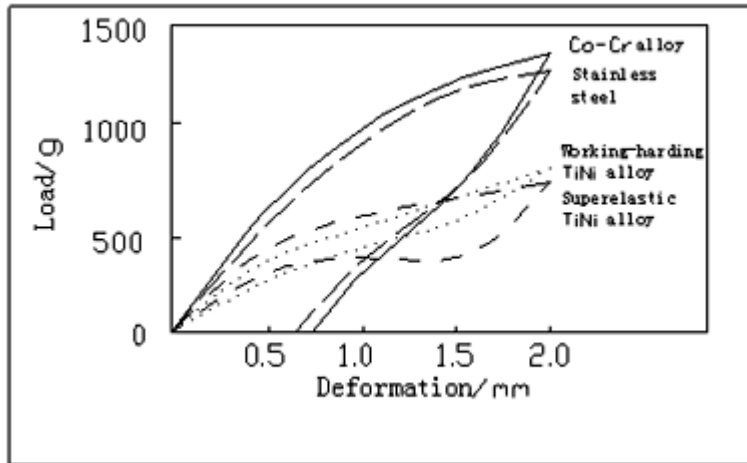
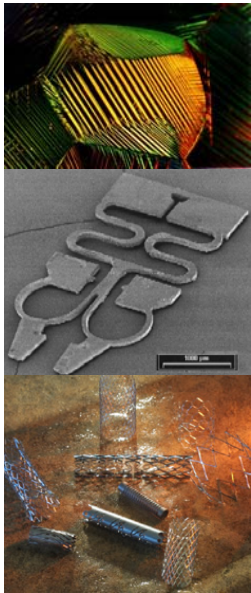
Fil guide



L.P.M.M.
UMR 7554

Séminaire Matériaux IN2P3 – 17/10/2006

Fil orthodontique



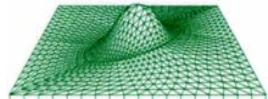
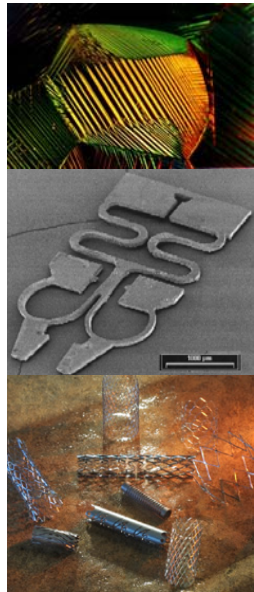
Furukawa

Test de flexion à 90 degrés pour plusieurs matériaux

Alliages	Déformation permanente	Déviation standard
TiNi suprélastique	0	0
NiTi écroui	1.34	0.20
Alliage Co-Cr A	25.4	0.66
Alliage Co-Cr B	38.8	1.88
Acier inoxydable A	10.3	0.50
Acier inoxydable B	34.0	0.55

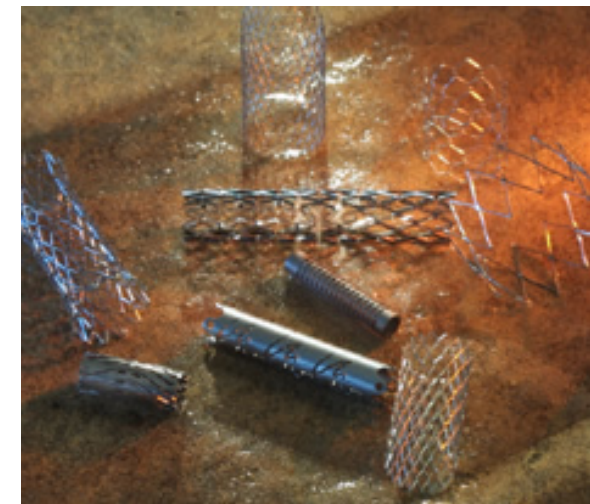
Grikin Advanced Materials Co., Ltd

Stent

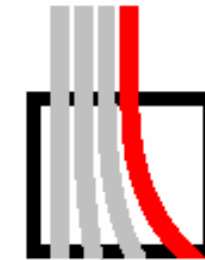
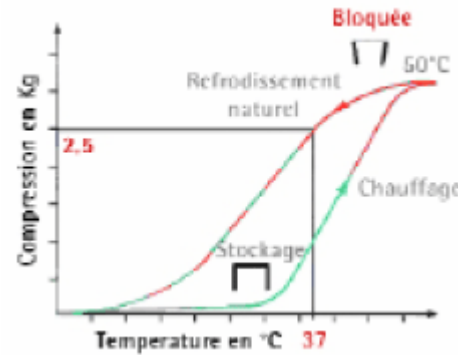
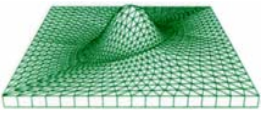
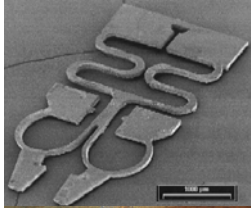


L.P.M.M.
UMR 7554

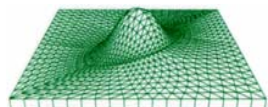
Séminaire Matériaux IN2P3 – 17/10/2006



Agraphes d'ostéosynthèse à mémoire de forme



MEMOMETAL
TECHNOLOGIES

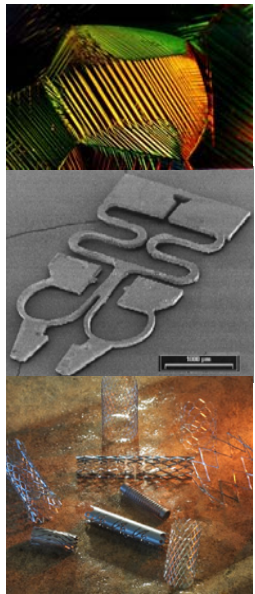
Méty

L.P.M.M.
UMR 7554

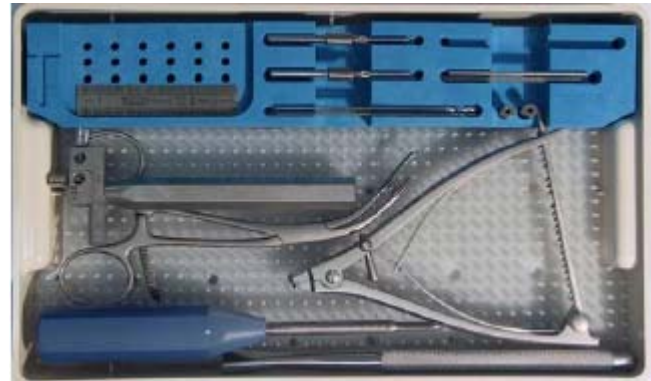
Séminaire Matériaux IN2P3 – 17/10/2006

EASY Clip

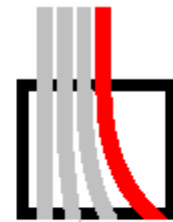
La superélasticité maîtrisée



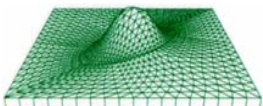
Force de compression inter-fragmentaire constante
4,5 kg.



« Hallux Valgus Memometal kit »



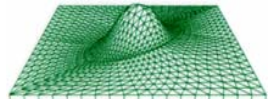
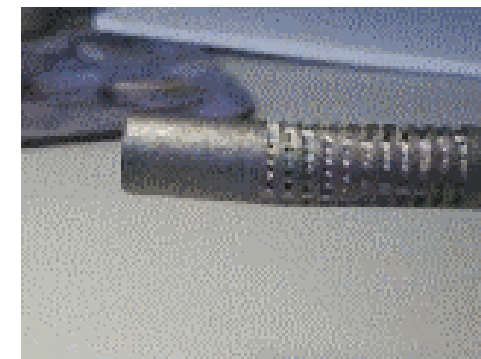
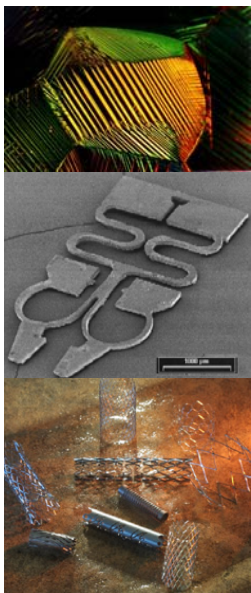
MEMOMETAL
TECHNOLOGIES



L.P.M.M.
UMR 7554

Séminaire Matériaux IN2P3 – 17/10/2006

Support mobile pour caméra endoscopique

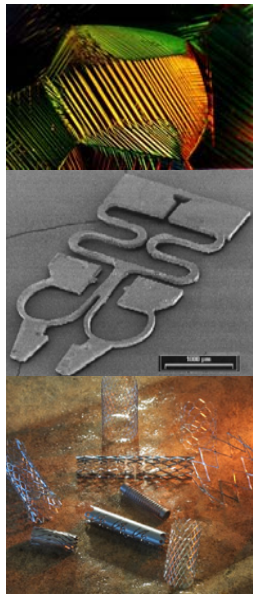


L.P.M.M.
UMR 7554

Dr. Harald Fischer, Forschungszentrum Karlsruhe, PDG ENDOSMART GmbH

Séminaire Matériaux IN2P3 – 17/10/2006

Instrumentation chirurgicale



Neurochirurgie

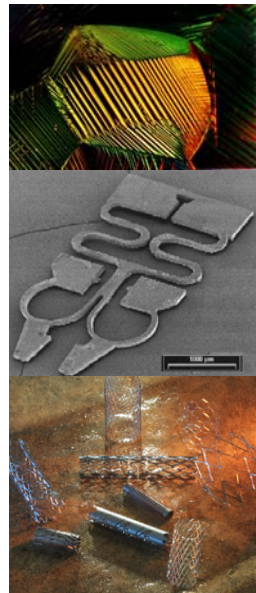


Chirurgie vasculaire

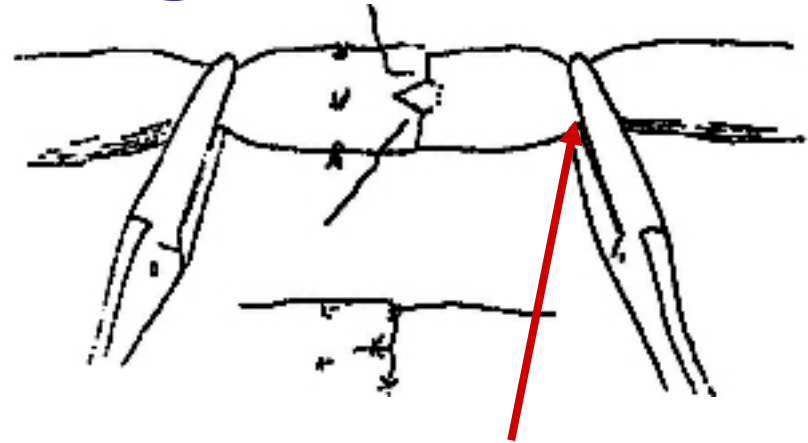
Dr. Harald Fischer, Forschungszentrum Karlsruhe, PDG ENDOSMART GmbH

Séminaire Matériaux IN2P3 – 17/10/2006

Forceps intelligents



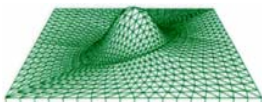
AMF superélastique



Traumatisme possible
si la pression est trop forte

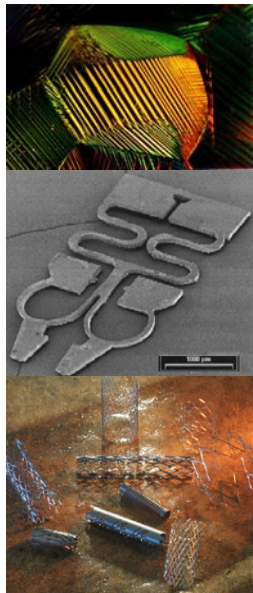


La première greffe de rein au Japon
a échoué suite à un traumatisme
Lié à l'emploi des forceps



Tohoku University Biomedical Engineering Research Organization

Medical devices for laroscopic surgery

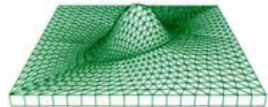


Articulating scissors,
dissectors, retractors



Specimen retrieval bag

Memry Corporation



L.P.M.M.
UMR 7554

Séminaire Matériaux IN2P3 – 17/10/2006

Microrobotic for genetic

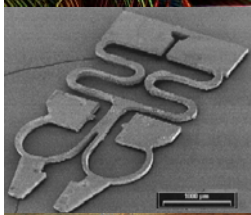
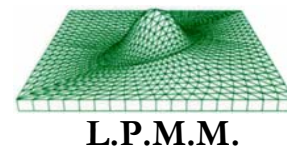


Photo IGBMC-LGIPM

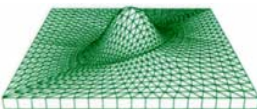
Objective : DNA hybridization density greater to 3600 samples/cm².

- Large scale integration
- Drop size ~ 100μm
- High productivity

→ SMA Activator



Metz University



L.P.M.M.
UMR 7554

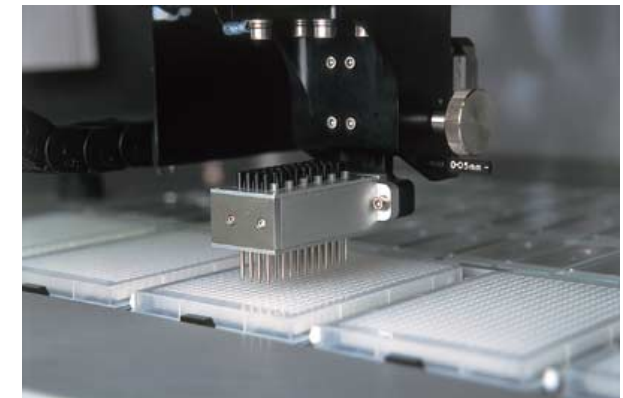
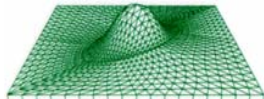
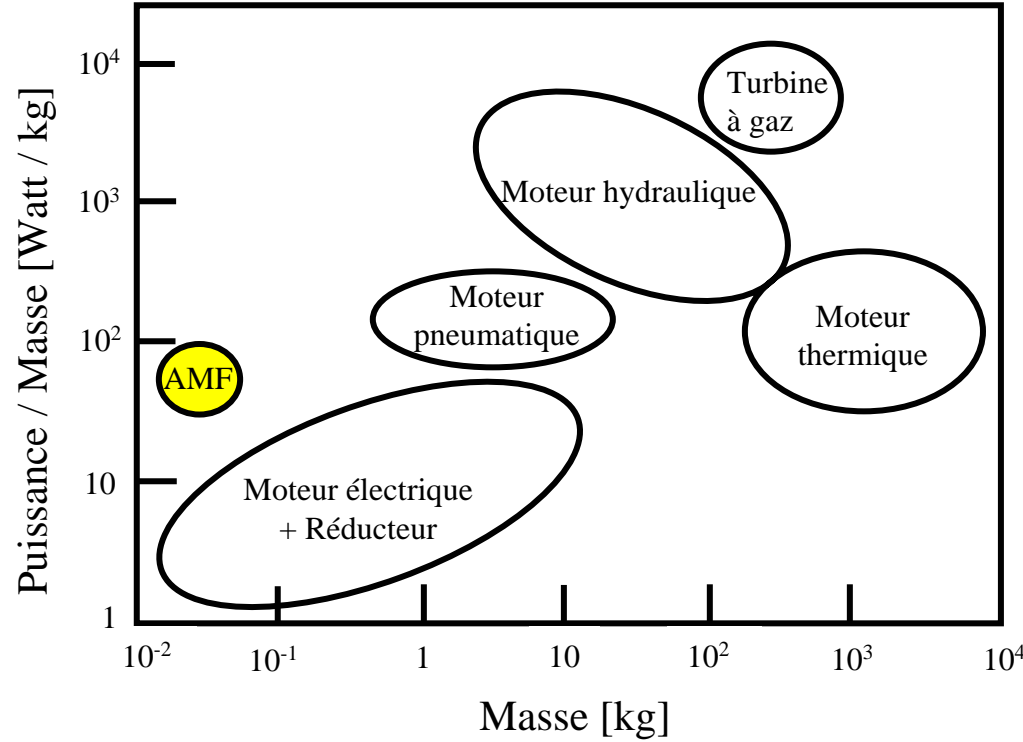
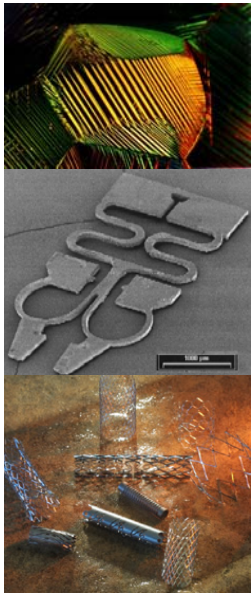


Photo Genetic Microsystems

III.6. Microsystèmes

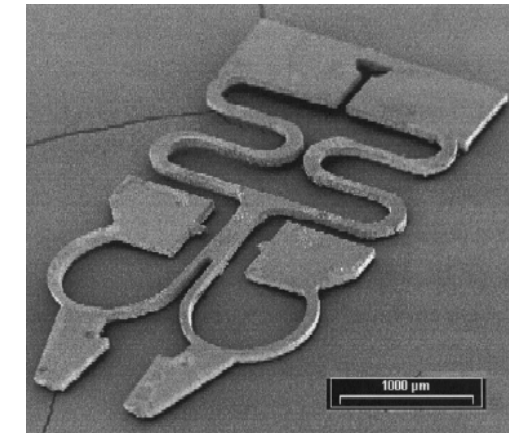


L.P.M.M.
UMR 7554

Micropince
EPFL Lausanne



Micropince
IZT Karlsruhe



Shape memory alloys for micromembranes actuation

P. Surbeld*, B. Le Pioufle, E.H. Yang, H. Fujita

LIMMS/CNRS-IIS, Institute of Industrial Science, University of Tokyo
7-22-1 Roppongi, Minato-ku, Tokyo 106-8558, Japan

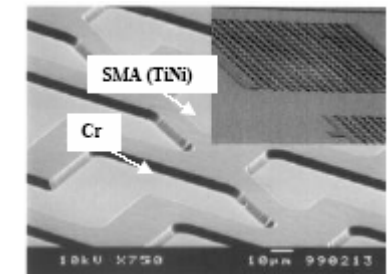
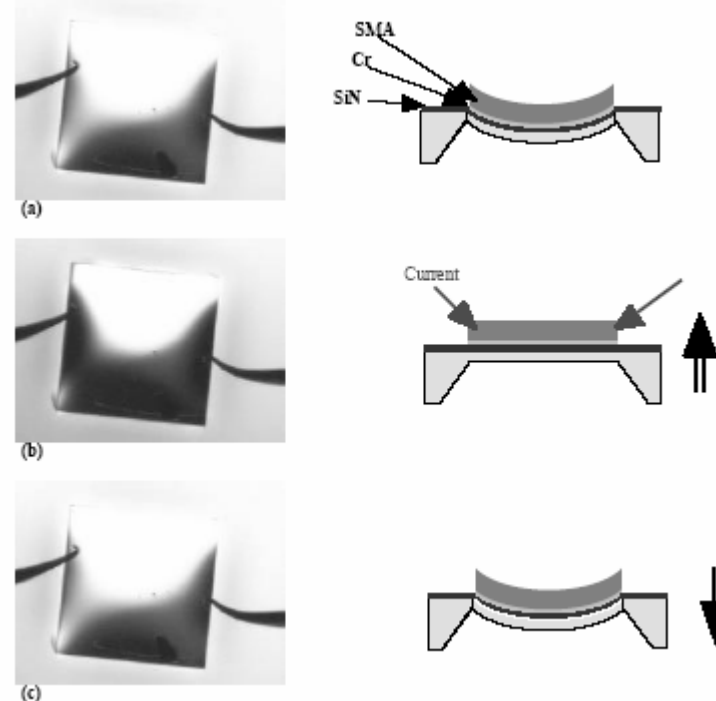
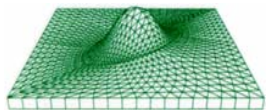


Fig. 4. Frontside of the active membrane ($2 \times 2 \text{ mm}^2$) before releasing

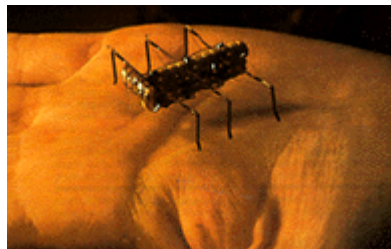
Fig. 7. Actuation of a 1 mm square SMA membrane: (a) initial shape, (b) during heating ($i=500\text{mA}$), (c) recovery to the initial shape after current shut-off



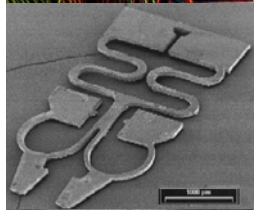
L.P.M.M.
UMR 7554

Séminaire Matériaux IN2P3 – 17/10/2006

Micro robotics applications and nanotechnology

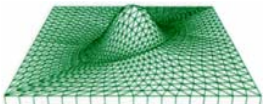


MondoTronics

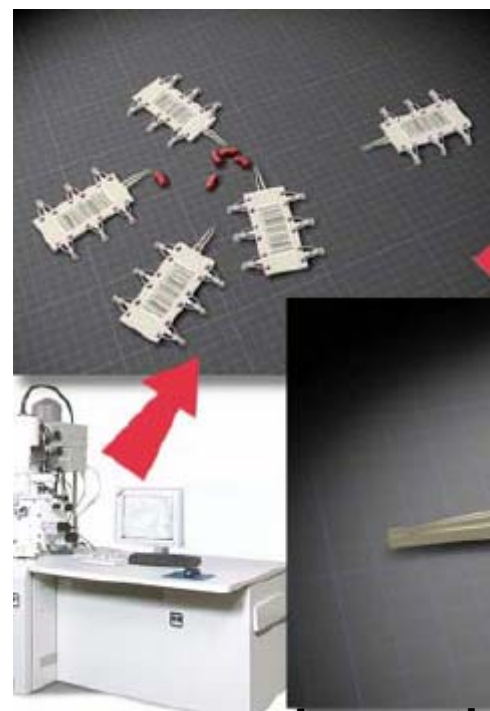


Construction or control
of medical devices.

Manipulation of protein
and genetic components

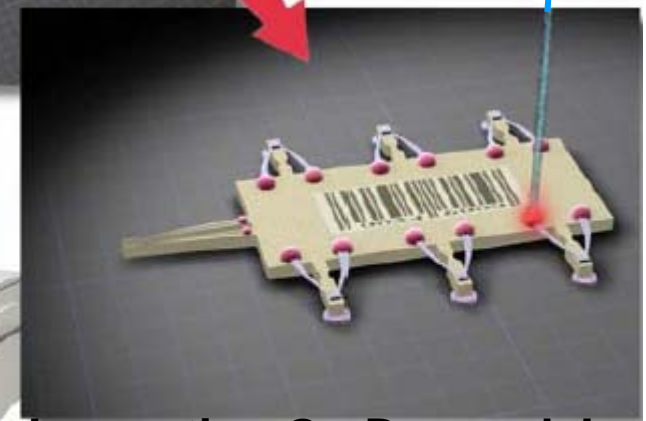
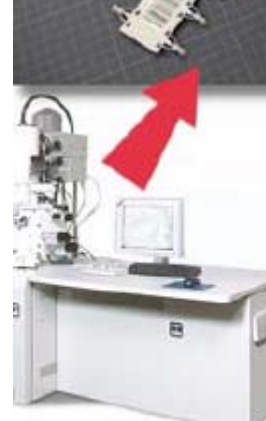


L.P.M.M.
UMR 7554



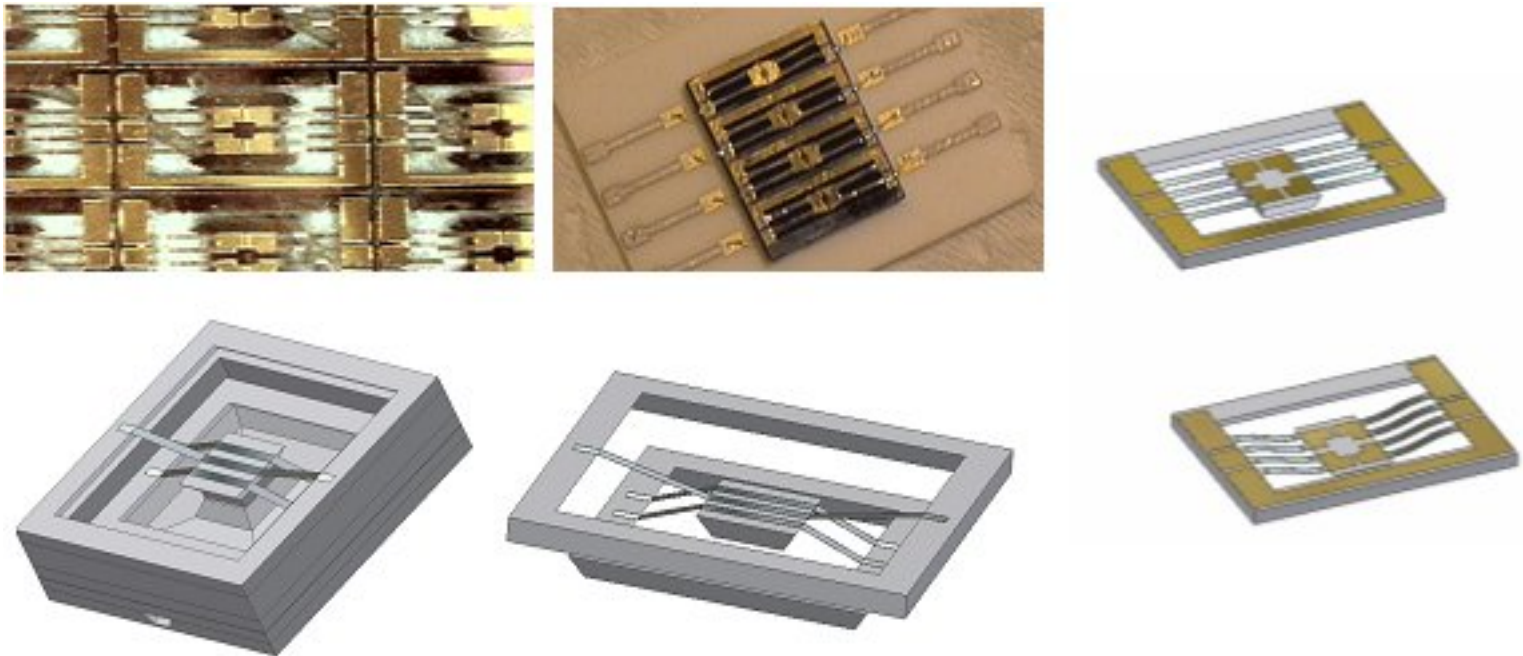
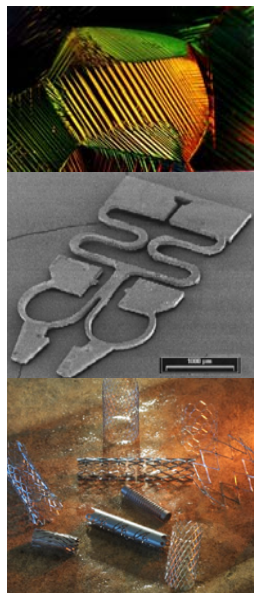
Wireless SMA actuators

Laser beam
SEM beam



Innovation On Demand, Inc

TiNi Thin Film Actuators

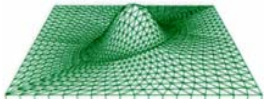


Built on a 5.1×8.1 mm silicon chip.

Eight ribbons of thin film $4 \mu\text{m}$ thick, $250 \mu\text{m}$ wide and 2.15 mm long.

Can lift 30-40 grams for a distance of 100 to $400 \mu\text{m}$.

60-80 mA (~ 2.4 volts) are necessary to operate.

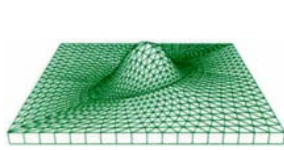
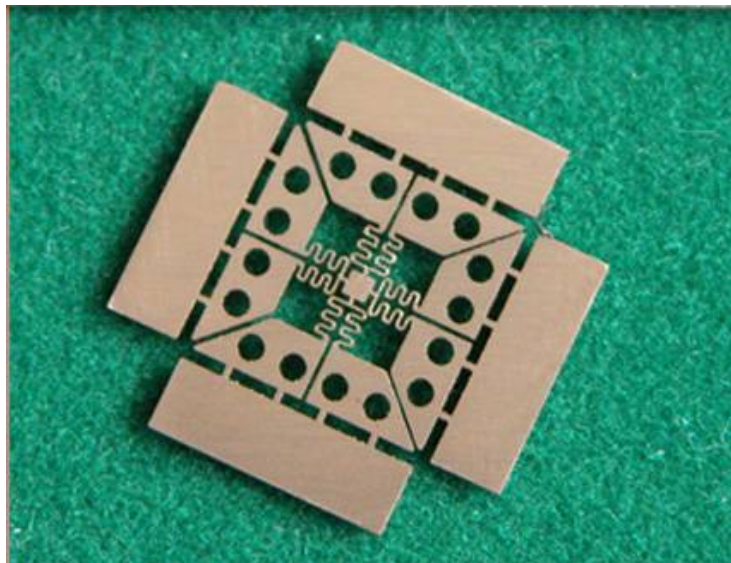
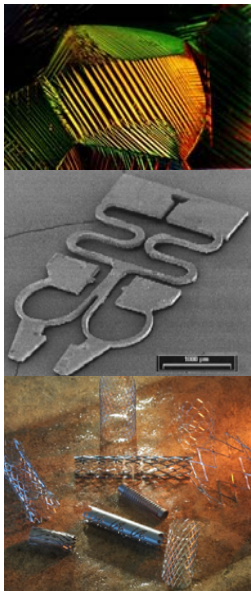


L.P.M.M.
UMR 7554

TiNi Alloy Company

Séminaire Matériaux IN2P3 – 17/10/2006

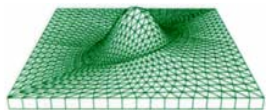
Micropositionneur différentiel AMF



L.P.M.M.

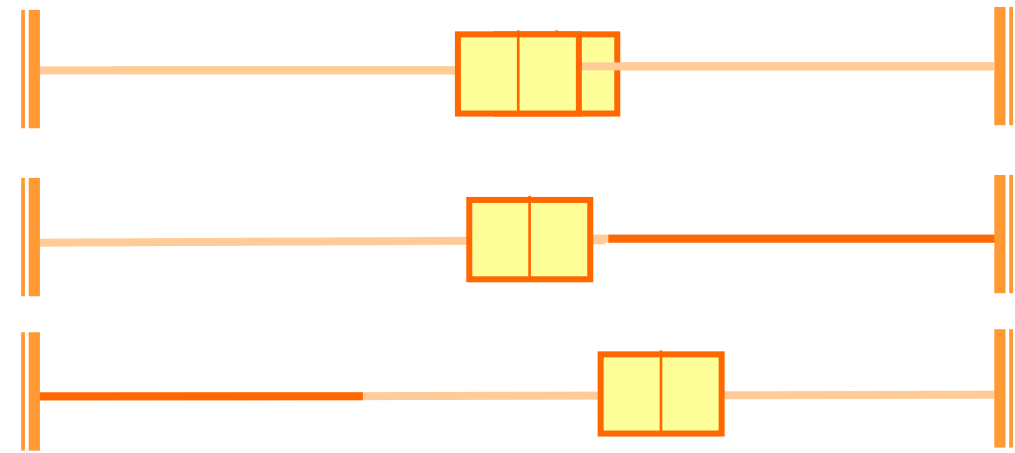


A. Hautcoeur

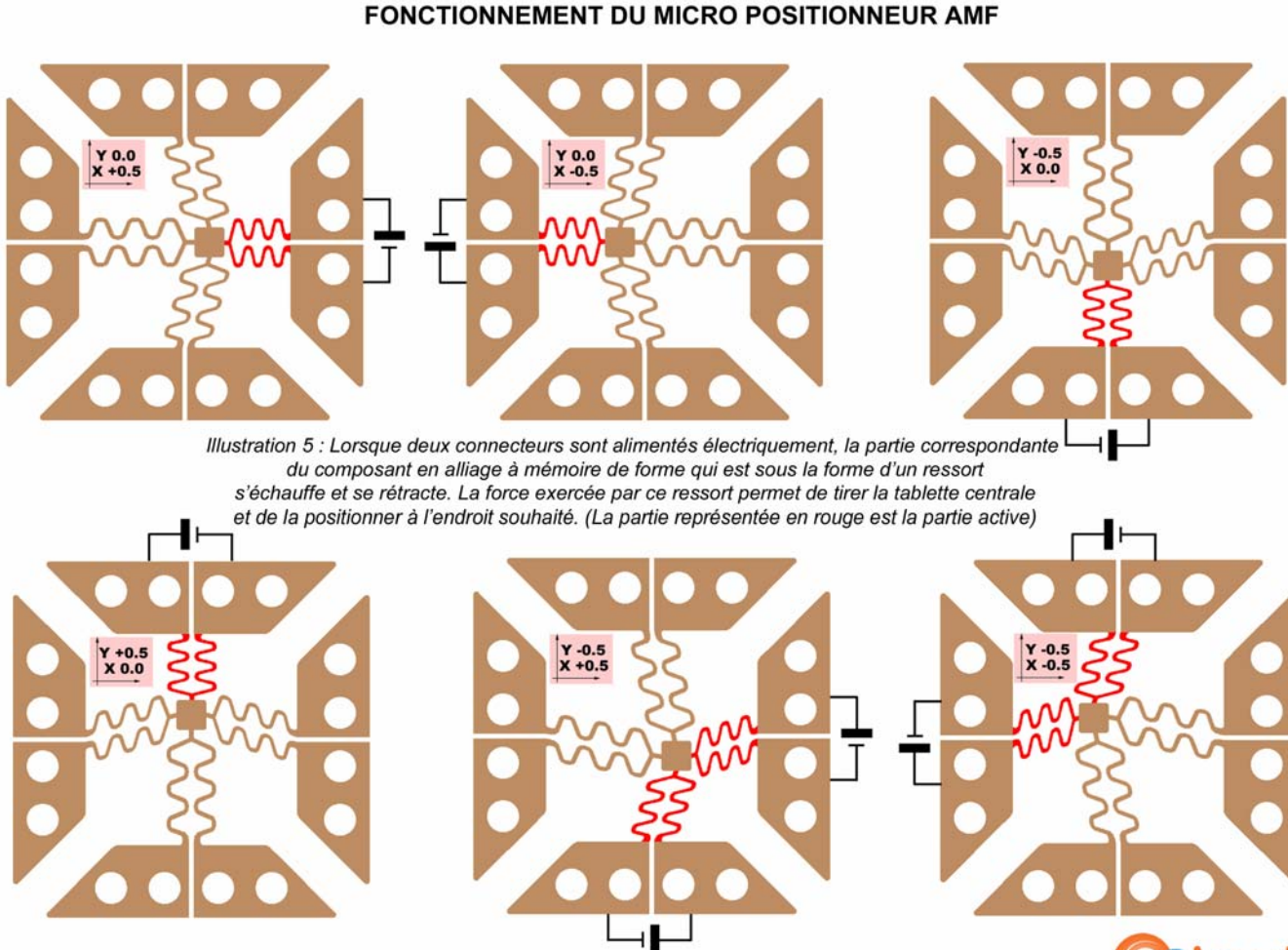
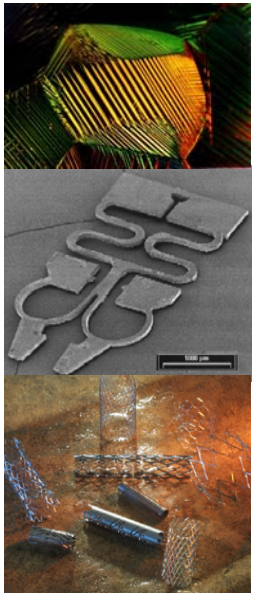


L.P.M.M.
UMR 7554

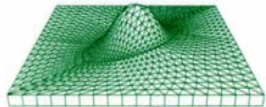
- Précontrainte
 - Chauffage partie droite
 - Chauffage partie gauche



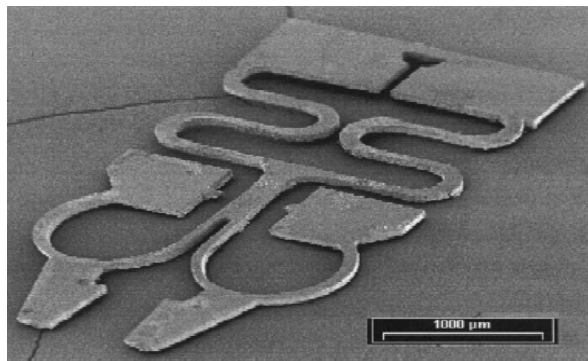
Micropositionneur différentiel AMF



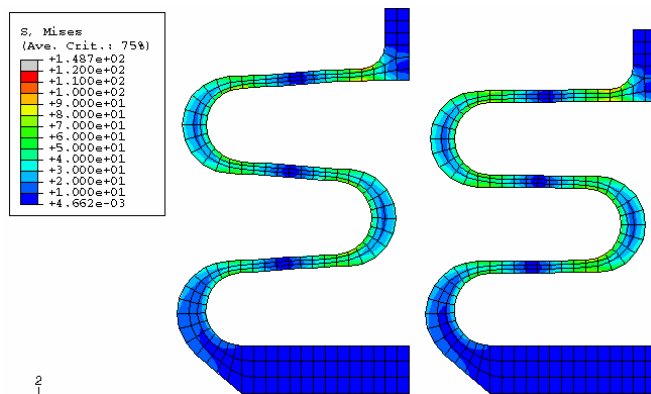
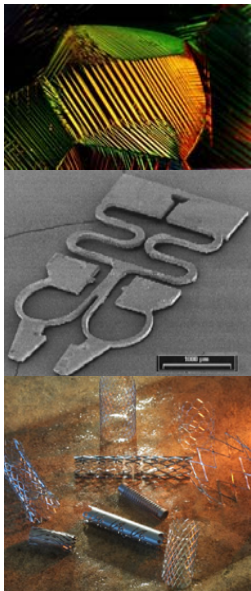

Onimesis
Intelligent materials



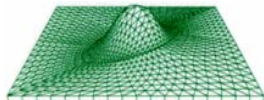
Simulation par éléments finis



Micropince (Kohl et al. 2002)

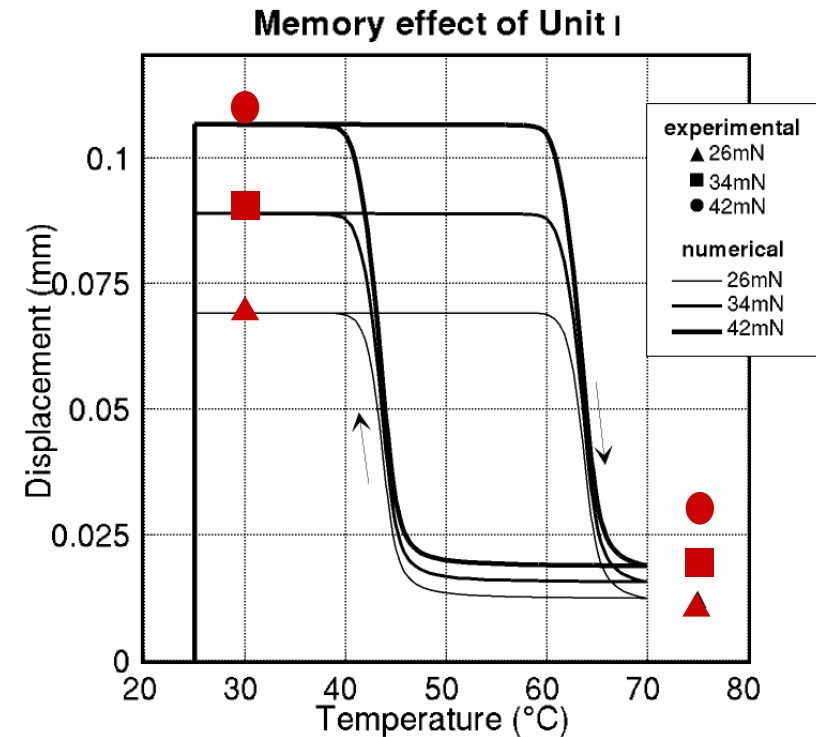


2



L.P.M.M.
UMR 7554

ABAQUS, UMAT

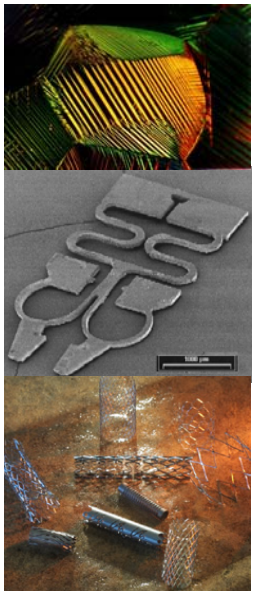
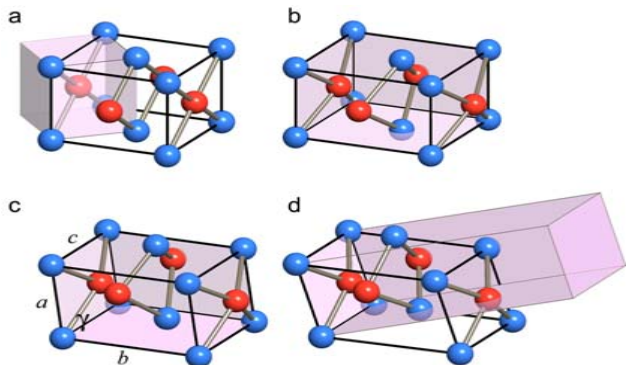


Thèse Bertrand Peultier
LPMM – ENSAM -2005

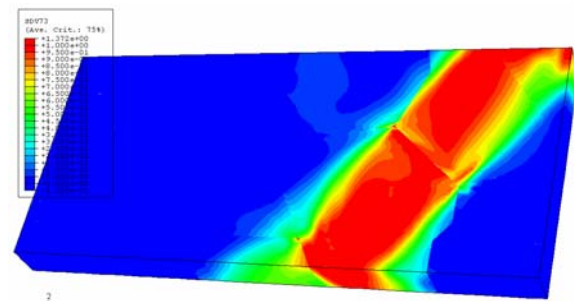
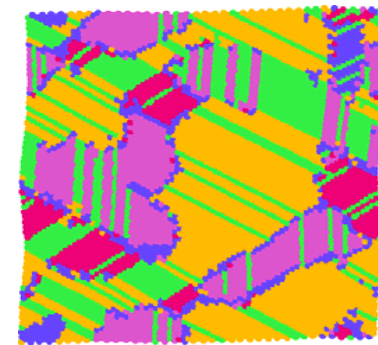
Séminaire Matériaux IN2P3 – 17/10/2006

Simulation : du nano au macro

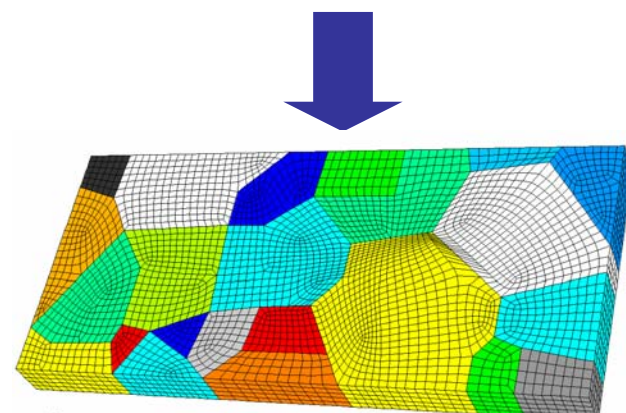
Structures cristallines



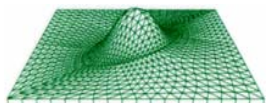
Microstructure en domaine



Simulation numérique



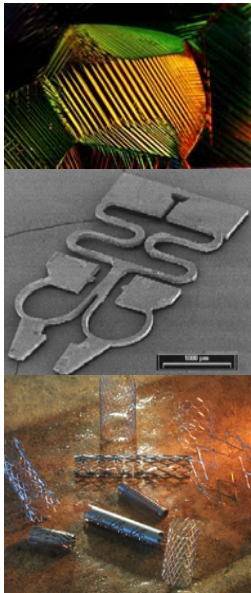
Structure polycristalline



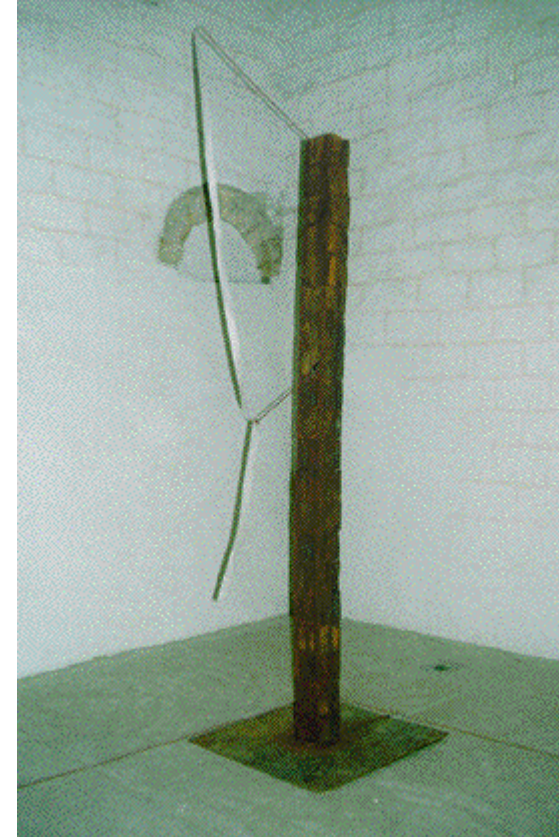
L.P.M.M.
UMR 7554

Séminaire Matériaux IN2P3 – 17/10/2006

III.7. Mémoire de forme Forme en mémoire

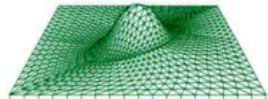


"Onibaba".



"Single way to Bethlehem"

Etienne Krähenbühl (gauche) et Rolf Gotthardt (droite).



L.P.M.M.
UMR 7554

Séminaire Matériaux IN2P3 – 17/10/2006